

Vysoká škola strojní
Vysoká škola a textilní v Liberci

Fakulta: textilní

Katedra: přádelnictví a zušlechťování

Školní rok: 1973/74

DIPLOMOVÝ ÚKOL

pro s. Ladislava Ágha

obor 31-11-8 Technologie textilu, kůže, gumy a plastických hmot

Protože jste splnil... požadavky učebního plánu, zadává Vám vedoucí katedry ve smyslu směrnic ministerstva školství o státních závěrečných zkouškách tento diplomový úkol:

Název tématu: Charakteristika hedvábí "Slotera"

Pokyny pro výpracování:

Pro hedvábí "Slotera" používaném v n.p. MDŽ Bratislava vypracujte :

- 1) Mechanicko-fysikální vlastnosti.
- 2) Termické vlastnosti.
- 3) Optické vlastnosti.
- 4) Elektrické vlastnosti.
- 5) Chemické vlastnosti.

Zhodnoťte tyto vlastnosti vzhledem k budoucímu použití v nižárenských výrobcích.

Autorécké právo se řídí směrnicemi MŠK pro závěrečné zkoušky č.j. 31-727/52-III/2 ze dne 13. července 1962-Vydání MŠK XII, ze dne 24. srpna 1962, číslo 15 zákoníku zákona č. 115/53 Sb.

Vysoká škola strojní a textilní
Ústřední knihovna
LIBEREC I - STUDENTSKÁ 6

V 91/1974 T

Obsah

Úvod	7
A. Teoretická časť	
1. Fyzikálno mechanické vlastnosti vlákien	8
1.1. Úvod	8
1.2. Pevnosť a tažnosť	8
1.3. Pružnosť vlákien	13
1.4. Jemnosť vlákien	16
2. Termické vlastnosti	17
2.1. Zmraživosť	17
2.2. Vplyv teploty na štruktúru vlákna	19
2.3. Stanovenie tepla topenia metódou diferenciálnej termickej analýzy /DTA/ - popis	20
2.4. Teplorazpúšťanie rôzne fixovaného PES h Slo- tera	20
3. Optické vlastnosti	23
3.1. Röntgenografické metódy analýzy vlákna	23
4. Elektrické vlastnosti	26
4.1. Všeobecná charakteristika	26
4.2. Elektrostatický náboj	26
4.3. Princíp kumulačnej metódy	28
4.4. Antistatická účinnosť	30
5. Chemické vlastnosti	32
5.1. Vplyv vody a vodnej pary na vlastnosti PES vlákna	32
5.2. Vplyv kyselín	32
5.3. Vplyv zásad	33
5.4. Vplyv oxidačných a redukčných činidiel	34
5.5. Vplyv organických látok	35
B. Experimentálna časť	
1. Stanovenie pevnosti	37
1.1. Postup práce	37

1.1.1.	Výsledky	38
1.1.2.	Zhodnotenie výsledkov	49
2.	Zmraštivosť	50
2.1.	Výsledky	50
2.1.1.	Zhodnotenie výsledkov	55
2.2.	DTA	56
2.2.1.	Výsledky DTA	57
2.2.2.	Zhodnotenie DTA	61
2.3.	Stanovenie rozpušťacieho tepla-postup práce ...	62
2.3.1.	Výsledky	63
2.3.2.	Zhodnotenie výsledkov	67
3.	Elektrostatický náboj	68
3.1.	Elektrizačný prístroj EP - 72	68
3.1.1.	Príprava vzoriek	69
3.2.	Výsledky	71
3.2.1.	Zhodnotenie výsledkov	78
C.	Diskusia	80
D.	Záver	82
E.	Literatúra	84

Úvod

Zo syntetických vláken najširšie uplatnenie v dnešnej dobe nachádza polyester. Už dnes zaujíma v československom textilnom priemysle veľmi významné miesto a v budúcich rokoch jeho význam v surovinovej základne ďalej stúpne.

VTR v socialistickej spoločnosti zaoberá popredné poste-venie. Úlohou VTR sa zaoberal i XIV. zjazd KSČ a určil konkrétny smer napredovania aj v textilnom priemysle.

Z celkového objemu textilnej výroby sa syntetické vlákna podielajú 30 %-ami. Aby sa dosiahli výrobky žiadanych kvalít, je bezpodmienečne nutné poznáť charakteristické vlastnosti vláken. Z daných vlastností potom je možné vychádzať pri určení použitia.

Cieľom tejto práce je charakterizovať vlastnosti PES h Slotera,, učiť parametre Slotery a tak poukázať na vhodnosť použitia pre výrobu niti.

Práca pozostáva z teoretickej a experimentálnej časti. Teoretická časť opisuje fyzikálno-mechanické, termické, optické, elektrické a chemické vlastnosti. V experimentálnej časti boli prevedené skúšky z fyzikálno-mechanických, termických a elektrických vlastností. Zistenie ostatných vlastností nebolo možné z objektívnych príčin uskutočniť. Práca podáva čiastočný prehľad o vlastnostiach PES h Slotera.

VŠST LIBEREC		Strana
Fakulta textilní		

A. Teoretická část.

1. Fyzikálno mechanické vlastnosti

1.1. Úvod

Pevnosť a ťažnosť patria medzi najdôležitejšie mechanické vlastnosti vlákna. Sú dôležitým ukazovateľom pre výrobcu ako aj pre spotrebiteľa. Namáhanie textilných materiálov sa uskutočňuje v praxi rôznym spôsobom. U vlákien sa hodnotia nielen mechanické vlastnosti ale aj únavu pri cyklickom namáhaní. Vo väčšine prípadov sa sledujú vzťahy medzi pôsobiacou sileou a deformáciou vlákna.

Pevnosť v ľahu, ťažnosť, pevnosť v ohybe, pevnosť v slučke, pevnosť v uzle, odolnosť v odere, únavu vlákien pri opakovanej namáhaní ľahom, pevnosť v ľahu za mokra atď. sú charakteristiky vlákien, ktoré sa objavia pri hodnotení kvality a ich využitia. Tieto vlastnosti úzko závisia na chemickej ako i fyzikálnej štruktúre vlákna, na teplote, na vlhkosti, na spôsobe a rýchlosťi namáhania. /2/ Mechanické vlastnosti vzájomne súvisia s ostatnými vlastnosťami ako optickými, elektrickými, tepelnými. Ich vzťah je zložitý a je charakteristický pre určitý druh vlákna.

1.2. Pevnosť a ťažnosť.

Pevnosť vlákien je ovplyvnená chemickým zložením, t.j. vnútornou štruktúrou, ktorej základ tvoria molekuly. Usporiada-

nie s intenzita medzimolekulárnych síl určuje vlastnosti makromolekuly. Usporiadanie makromolekúl nie je náhodné. Základným prvkom usporiadania je elementárna bunka, tvorená štyrmi makromolekulami, ktoré sú kohéznymi silami viazané do určitých polôh. Sily pôsobiace medzi molekulami sú hľavnými nositeľmi mechanických vlastností. Najsilnejšie pôsobia disperzné sily, podstatne slabšie sa javia Vander Waalsove sily. Pri mechanickej pretrhu PES vlákna sú hodnoty energií väzieb nasledujúce:

a/ 61,38 kcal/mol - energia väzby /C-C/

b/ 75,00 kcal/mol - priemer hodnôt energií ostatných väzieb /C-C/₅, /C-O/₄, /C=C/₃, /3/

Röntgenologický výskum ukázal, že veľkosť kryštalických oblastí je 10-krát menšia ako je dĺžka makromolekuly. Je zrejmé, že ostatná časť makromolekuly je obsiahnutá v amorfnej oblasti. Prechod jednotlivých oblastí na seba plynulo navázuje.

Pevnosť vlákna je vyjadrená charakterom vnútornnej štruktúry /kryštalický podiel, vzájomné uloženie retázcov atď/. Vypočítaná teoretická pevnosť vytvoreného modelu PES vlákna vychádza podľa /3/ na 120 p/den až 140 p/den. V praxi získané hodnoty sa pohybujú od 3,7 p/den až 7 p/den v závislosti od typu vlákna. Toto dokumentuje tab.č.1 : Pevnosť a ľahlosť PES vláken

tab.č. 1 Pevnosť a ťažnosť PES vlákien

	PES h vysokopevný	normálny	PES striž
pevnosť /p/den/ / km /	6-7 54-63	4,5 - 5,5 40 - 50	3,5 - 4 32 - 36
ťažnosť / % /	12,5-7,5	25 - 15	40 - 25

Z toho vyplýva, že reálne vlákno sa diamestrálne líši od modelu ideálneho vlákna. Túto nízku pevnosť si môžeme zdôvodniť existenciou pôrou vo vlákne, ktoré tým pádom znižujú podiel kryštalinity. V literatúre /3/ sa uvádzá, že pretrunutie vlákna zapríčinuje kľazanie retázcov po sebe, t. zn. uvoľnenie kohéznych Van der Waalsových síl.

V textilnej praxi sa obyčajne označuje pevnosť tahu ako pevnosť, a deformácia ako ťažnosť. Pri zaťažení vlákna dochádza postupne k deformácii - predĺženiu, ktoré rastie až do okamžiku pretrhnutia. Konečné hodnoty označujeme ako pevnosť a ťažnosť vlákna. Samozrejme, že výsledok závisí na rade vplyvov. Jeden z dôležitých činitelov je vlhkosť vlákien, ktorá však u syntetických materiálov sa podstatne neprejaví, pretože vlastná štruktúra je schopná prijať vodu len po určitú hranicu.

Pevnosť a deformácia vlákien sa meria na rôznych typoch dynamometrov. Používajú sa dynamometre s konštantným prírastkom napäcia alebo s konštantným zrýchlením. Je tu možnosť, že výsledky z dvoch rôznych typov dynamometrov sa budú trochu lísiť, preto norma určuje skúšobné metódy pre jednotlivé vlastnos-

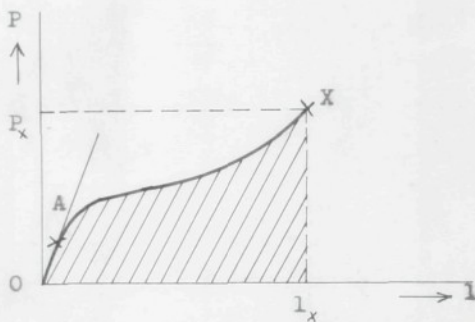
ti, aby výsledky mohli byť zrovnateľné.

Pevnosť sa vyjadruje v pondoch alebo v pondoch na denier.

Težnosť sa udáva v príslušných dĺžkových jednotkách, pomerná težnosť v percentách.

Počas trhania dochádza k zmenám pevnosti a težnosti. Prebiehajúce zmeny sú graficky znázornené na obr. č.1

obr.č.1 Pracovný diagram vlákna



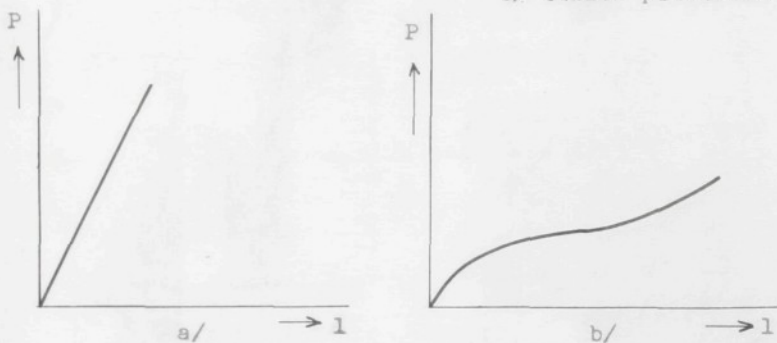
Priebeh $P - l$ voláme pracovným diagramom vlákna, ktorý je závislý na rade faktorov /čas, vlhkosť atď/.

Pracovný diagram nám dáva obraz o vlastnostach materiálu. V oblasti OA má krivka lineárnu závislosť, kde zostáva v platnosti Hookov zákon. V tejto oblasti do popredia vystupujú elastické vlastnosti vlákna v úseku AX sa prejavuje i plastický tok v bode X nastáva pretrhnutie vlákna. Hodnota P_x predstavuje maximálnu pevnosť pri pretrhnutí a l_x zase maximálne predĺženie, t.j. težnosť pri pretrhnutí. Priebeh pracovnej krivky vyjadruje závislosť $P = f(l)$. Plocha pod pracovnou krivkou vyjadruje integrál

$$\int_0^{l_x} P \cdot dl = H \quad /1/$$

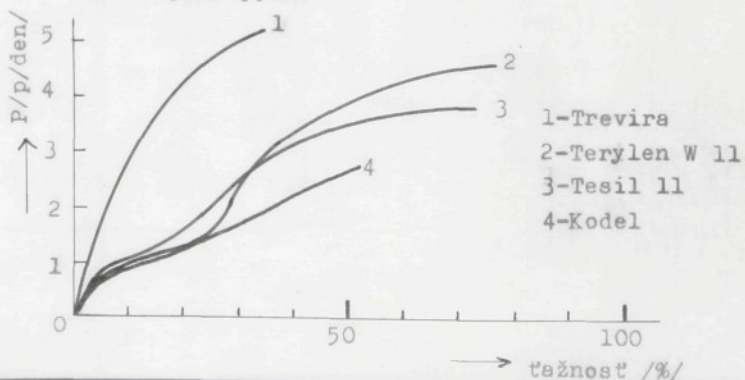
Z pracovného diagramu môžeme vyčítať mechanické vlastnosti vlákna.

obr.č. 2 Pracovné diagramy vlákna a/ elasticke
b/ takmer plastické



Na obr.č. 2 a/ vidíme, že vlákno je pevné, elasticke, ale málo húževnaté./napr. sklenené vlákno/. Opačným prípadom je vlákno na obr. č. 2 b/, ktoré je pomerne málo pevné, ale húževnaté. PES vlákno obsahuje podiel vlastností z obidvoch prípadov. Pracovné krivky rôznych PES vlátkien sa nachádzajú na obr. č. 3 /3/.

obr.č. 3 Krivky pevnosti - predĺženia PES vlátkien /striž/ normálnych typov.



Pevnosť a ťažnosť vlákna je závislá na štruktúre. Orientácia makromolekúl je paralelná s osou vlákna. Toto dokumentuje pracovný diagram z vlákna na obr.č.2 a/. Takéto usporiadanie má vysokú pevnosť a nízku ťažnosť. Obr.č. 2 b/ odpovedá vŕátku, v ktorom sú makromolekuly priečne "poskladané" s osou vlákna. Grafický priebeh charakterizuje veľká ťažnosť pri nižšej pevnosti.

Pracovná krivka hodvábu by mala byť podobná pracovnému diagramu vlákna, keď uvažujeme, že pevnosť a ťažnosť sú násobkami hodnôt pevnosti a ťažnosti vlákna.

1.3. Pružnosť vláken.

Medzi dobré vlastnosti vlákna patrí schopnosť vrátiť sa po deformácii do pôvodných rozmerov a pôvodného tvaru. Túto vlastnosť voláme pružnosť.

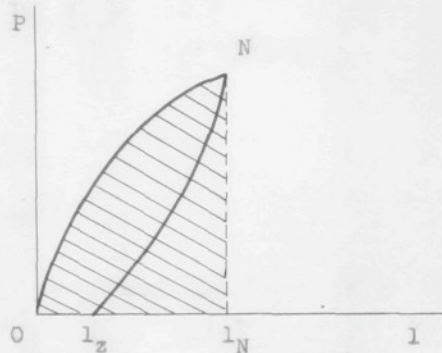
Pružné účinky vlákna sú najlepšie viditeľné pri cyklickom namáhaní na obr.č. 5

Predĺženie dokonale elastickej látok sa po odstránení napäcia ihneď vracia späť a materiál zaujíma pôvodný tvar. V oblasti, kde platí Hookov zákon je tento návrat rýchlejší. V iných prípadoch návrat na nulovú hodnotu nenastane, prípadne vráti sa veľmi pomaly. Po prekročení určitej medze nastane plastická deformácia, t.zn. zostatkové predĺženie.

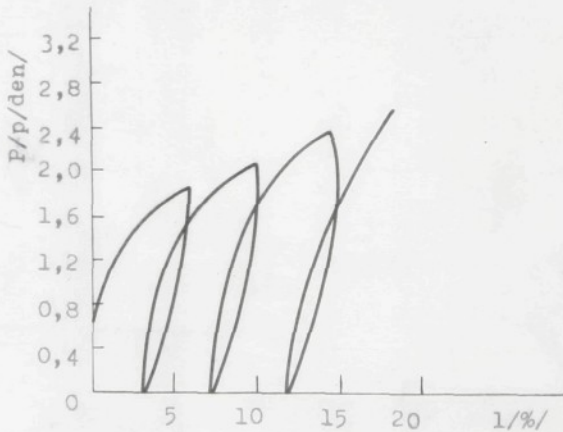
Pri opakovanom namáhaní sa vychádza zo zostatkového predĺženia minulého cyklu. Po odlehčení sa vracia vlákno inou cestou.

Nedokonale pružné vlákno uvolňuje časť energie, ktorá vznikla počas deformácie. To má za následok vytvorenie hysteréznej smyčky /2/. Časť energie zostáva vo vlákne a spôsobí jeho zohriatie. Z grafu na obr.č.4 možno zistiť prácu /t.zn. energiu/ pri deformácii, ktorá zostáva z energie nevratne nazhromaždejnej vo vlákne a energie uvoľňovanej vláknom pri návrate do relatívne rovnovážneho stavu.

obr.č.4 Vratná a nevratná energia pri deformácii vlákna.



obr.č.5 Cyklické namáhanie vlákna /prírodný hodváb/



Plocha pod krivkou ON predstavuje energiu nutnú k deformácii vlákna, plocha pod krivkou l_z N predstavuje energiu uvolnenú pružnosťou vlákna, pričom l_z určuje veľkosť zostatkovej tažnosti.

Obyčajne v praxi sa používa pri charakteristike elastickej vlastnosti výraz elastického zotavenia - E_z , ktorý je určený pomerom pružného predĺženia - l_p k celkovému predĺženiu l_c /2/. Prihľadnutím k energetickej bilancii možno definovať zotavenie vlákna ako pomer práce získanej pri pružnom zotavení $/A_p/$ k celkovej práci $/A_c/$ vynaloženej na danú deformáciu.

$$E_z = \frac{l_p}{l_c}$$

$$A_z = \frac{A_p}{A_c}$$

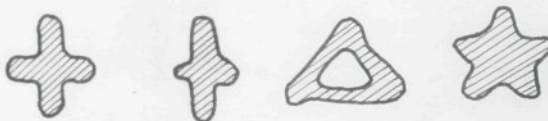
Elastické zotavenie bude väčšie, keď sa neprekročí bod tečenia /bod A obr. č. 1 /. Po prekročení tohto bodu prestáva prakticky platnosť Hookovho zákona.

Pružnosť tiež ako pevnosť závisí na vlhkosti, teplote, predchádzajúcim namáhaní a skôr spomínanej štruktúre. Pri väčšom zaťažení a predĺžení elastické zotavenie sa znižuje. V technologickom procese sú možnosti zlepšiť pružnosť mechanickou cestou.

1.4. Jemnosť vlákien.

Sortiment vyrábaných jemností vlákien je široký. Výroba syntetických vlákien zaručuje ich rovnomernosť. Na rovnomerenosť vplýva aj profil vlákien. Rôzne profily nám znázorňuje obraz č. 6

obr.č.6 Profily vlákien



V textilnej praxi poznáme niekolko druhov určovania jemnosti:

a/ metrické

b/ váhové

$$a/ \quad \text{Čm} = \frac{l}{g}$$

$$b/ \quad T_d = \frac{9000 \cdot g}{l}$$

$$\text{tex} = \frac{1000 \cdot g}{l}$$

kde: l - dĺžka /m/

g - váha /g/

Vzhľadom k jednotnému značeniu sa v budúcnosti prejde na číslovanie v decitexoch.

2. Termické vlastnosti

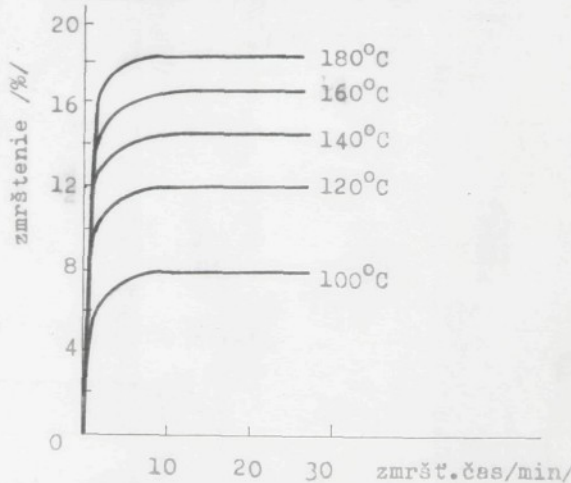
2.1. Zmraštivosť

Pôsobením zvýšenej teploty prebiehajú v PES vlákne štrukturálne zmeny, ktoré spôsobujú zmeny fyzikálno-mechanických vlastností. Veľkosť zmršťovania pôsobením teploty ovplyvňujú medzimolekulárne sily, orientácia. Počas díženia vzniká napätie, ktoré je vyvolané konformačnými zmenami. Pôsobením teploty sa zväčšuje pohyblivosť molekúl. Pri zvýšenej pohyblivosti dochádza k vyrovnaniu napäťia vo vlákne, pričom sa zmrštuje. Zmršťovanie spôsobujú konformačné zmeny makromolekúl pri ktorých makromolekuly prechádzajú do energeticky výhodnejších poloh/5/.

Podľa /1/ so zvyšovaním teploty stúpa veľkosť zmršťovania. Z obr.č.7 je zrejmé, že ustálenú hodnotu počas fixácie vlákno nadobudne po určitom čase.

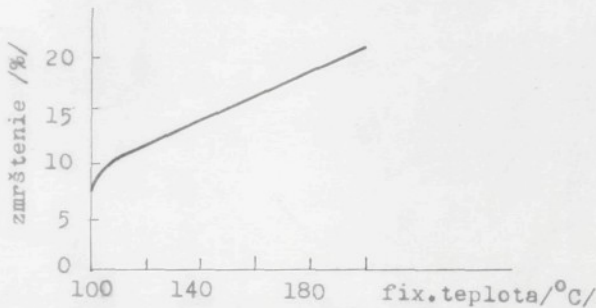
obr.č.7 Zmršťovanie PES h sko funkcia času pri 30 min.

fixácií v horúcom vzduchu.



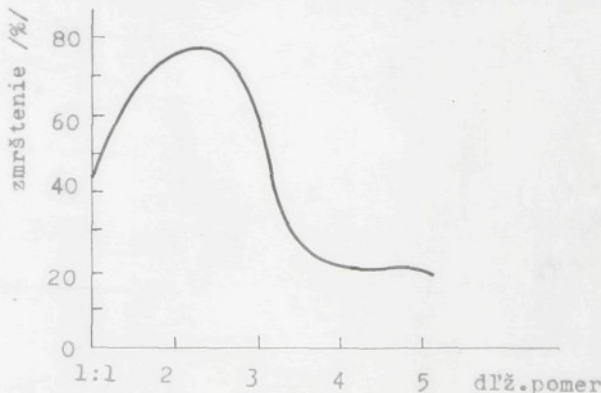
Obr.č. 8 ukazuje vplyv fixačnej teploty na zmršťivosť. Pri teplote okolo 125°C dochádza k zlomu na zrážacej krivke, ktorá potom nadobúda lineárny charakter. Nelineárny charakter krivky spôsobuje rozdielne tepelná povaha zrážacieho média a vlákenného materiálu. /1/

obr.č. 8 Zmršťivosť PES h sko funkcia teploty pri 30 min.
fixácií v horúcom vzduchu



Veľmi dôležitým ukazovateľom sa javí závislosť dĺžiaceho pomeru na zmršťivosť /3/. Vplyv dĺženia na zmršťivosť pri teplote 150°C ukazuje obr.č. 9

obr.č. 9 Závislosť dĺž.pomeru na zmršťivosť pri $t=150^{\circ}\text{C}$



Na začiatku díženia zmršťivosť stúpa. Po dosiahnutí kritického pomeru díženia zase klesá a po dosiahnutí určitej hranici sa ustáli. Ďalšie díženie by nám už neprinieslo zníženie zmršťivosti.

Percentuálne zmršťivosť možno vyjadriť vzťahom:

$$Z = \frac{l_0 - l}{l_0} \cdot 100 \text{ \%}$$

kde Z - zmršťivosť /%

l_0 - pôvodná dĺžka vlákna /hodvábu, priadze//mm/

l - dĺžka vlákna po zmrštení /mm/

2.2. Vplyv teploty na štruktúru vlákna.

Vplyv teploty sa môže rôznym spôsobom prejaviť na mechanických, optických a chemických vlastnosťach vlákna. Teplota môže spôsobiť štrukturálne zmeny, ktoré majú kladný alebo záporný vplyv na vlastnosti materiálu.

Ked dodávame vláknu teplo nastávajú zmeny štruktúry, ktorá pri teplote topenia prechádza z pevnej fázy do kvapalnej. Dodané teplo vyvoláva zvýšené kmitanie atómov v mriežke okolo rovnovážnej polohy a kmitajúce čästice opúšťajú kryštalickú mriežku. /2/

Nekol'ko makromolekula prechádza rôznymi oblasťami /kryštalickou, amorfou/, kde sa pôsobenie tepla inak odráža, má amorfna oblasť tendenciu skôr zmeniť skupenstvo. To vysvetľuje

je, prečo bod topenia nie je presne definovaný, ale bude daný určitým teplotným intervalom. Pri zvýšení kryštalického podielu sa bod topenia posúva k vyšším teplotám. /1/

2.3. Stanovenie tepla topenia metódou diferenciálnej termickej analýzy/DTA/ - popis.

Teplo a teplota topenia sa dá zistiť aj diferenciálnou termickou analýzou. /DTA/.

Vzorka materiálu v malej platinovej nádobke s termočlánkom sa umiestní do priestoru v ktorom stúpa teplota podľa určeného programu. Vedľa vzorky sa rovnakým spôsobom umiestní nádobka s referenčnou látkou /napr. Al_2O_3 / . Po zapnutí DTA sa zvyšuje teplota prostredia a meria sa rozdiel medzi teplotou skúšanej a porovnávacej látky. Ak v skúšanej látke neprebieha žiadne endotermické alebo exotermické deje, je rozdiel teplosti konštantný. V opačnom pripade sa teplotný rozdiel zvýší. Endotermický dej spôsobi spomalenie vyhrievania polyméru /5/. Výsledky sa graficky zaregistrujú.

2.4. Teplo rozpúšťania rôzne fixovaného PES h Slotera.

Počas chladnutia po fixácii sa v krištalinitoch vytvárajú kohézne sily, ktoré sú stále pri teplote a pod teplotou kryštalizácie, ktorá prebieha pri danej teplote. Celková energia:

=
250 °C

$$Q = \sum_{t=20^{\circ}\text{C}} N \cdot Q_t \quad / \text{cal/mol} /$$

kde N - počet retiazcov na 1 mol polyméru

Q_t - kohézna sila /cal/ vzniklá počas chladnutia

Pôsobením tepla dochádza k štiepeniu labilných väzieb. Mení sa usporiadanie retiazcov, čo zapríčiní kontrakciu vlákna. Od možstva kohéznych síl je závislá nielen kontrekcia, ale aj pevnosť, merná hmotnosť, napučiavanie, KRT, adsorbcia farbív a iódu a nie v poslednom rade i rozpustnosť vlákna.

Fixované vlákna obsahujú na rozdiel od nefixovaných vláken väčšie množstvo kohéznych síl, ktorých časť sa štiepi pri ohrevu nad teplotou fixácie. Vplyvom fixácie dochádza k rekryštalizácii, ktorá zvyšuje vzrast kryštalinítov a mernej hmotnosti.

Rýchlosť v priebehu napučiavania a rozpúšťania závisí na jemnosti vlákna. Toto vyjadruje vzťah :

$$t = k_z \cdot d$$

kde t - čas rozpúšťania

k_z - konštantá závislá na mernej hmotnosti a špecifickom povrchu vlákna

d - priemer vlákna

Fixované vlákna čas rozpúšťania zvyšujú.

Koncentrácia rozpúšťadla pôsobí na rýchlosť rozpúšťania, tak isto ako veľkosť kohéznych síl. Čím je vzájomné pôsobenie medzi molekulovými reťazcami silnejšie, /t.zn. vyššia kohézna energia/, tým potrebujeme dodať väčšiu energiu na ich rozrušenie.

3. Optické vlastnosti

3.1. Röntgenografické metódy analýzy vlákna

Optické vlastnosti sú odrazom vnútorného stavu vlákna, to znamená štruktúry. Optické vlastnosti možno charakterizovať ukazovateľmi, ktoré sa objavujú pri pôsobení žiarenia určitej vlnovej dĺžky pri styku s hmotou vlákna.

Prechodom röntgenového žiarenia dochádza k difrakcii na atónoch usporiadaných v kryštalickej mriežke. Kryštality sú štatisticky orientované do smeru osi vlákna. U PES orientácia sa docieľuje axiálnej deformáciou - dĺžením.

Fotografické zaregistrovanie difrakčných javov, vzniklých prechodom röntgenového žiarenia je predpokladom k výhodnoteniu kryštalickej štruktúry - stupňa kryštalinity, veľkosti orientácie a veľkosti kryštálov.

Usporiadanie kryštalítov vo vlákne nie je náhodné, ale sú orientované v určitom smere. Ak má dôjsť k reflexii na niektornej atómovej rovine /hkl/, musí uhol dopadu ϑ primárneho zväzku monochromatických röntgenových lúčov o vlnovej dĺžke λ splňovať Braggov zákon:

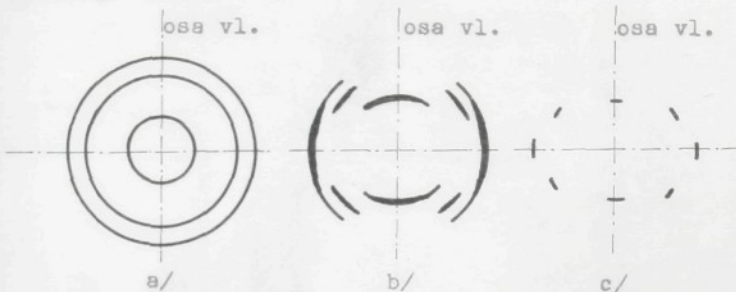
$$n \cdot \lambda = 2d \cdot \sin \vartheta$$

kde n - je celé číslo /1,2,3.../ označujúce rád reflektujúcich lúčov

d - vzdialenosť atómových rovín sústavy /hkl/

ϑ - uhol dopadu röntgenových lúčov na rovinu /hkl/

Ked na atómových rovinách dojde k difrakcii, na röntgenograme sa vytvorí príslušný záznam. Vplyv orientácie kryštali-tov ukazuje obr.č.⁹



Obr.č. 9 : Charakteristika priebehu stupňa orientácie:

- a- náhodná orientácia
- b- axiálna orientácia
- c- ideálna orientácia

Z difrakčných záznamov a výpočtom z Braggovho zákona sa určia mriežkové parametre vlákna a tým i znaky príslušného typu vlákna. Bližšie o tom pojednáva literatúra /2/.

Pre prax má značný význam určenie kryštalického a amorfného podielu, ktorý je dôležitým ukazovateľom koloristických vlastností. Postup stanovenia stupňa kryštalinity vypracovali Hermans a Weidiger/2/.

Prehľad jednotlivých vlastností PES vláken v závislosti na dížení vypracovali Mitterpach, Diačik a Jambrich /8/. Výsledky sú zaznamenané v tabuľke č.2

Tab.č.2 Vplyv deformácie pri dížení na molekulárnu štruktúru a fyzikálno-mechanicke vlastnosti PES vlákna, deformovaného pri teplote 130 °C .

díž. pom.	mer. hodn. g/cm ³	kryšt. podiel %	dvoj- lom /n ₂ - n ₁ /	polovič. uhol černania /010/	rých- losť zvuku km/s	velkosť kryšta- litov A	najmenší uhol periódy A	pev- nosť p/den	taž- nosť %	Yong. modul p/den
Nedížené										
v1. 1,3575	21	0,0100	-	1,4	-	-	-	0,7	571	17,9
1,5 1,3590	26	0,0090	-	1,5	-	-	-	0,6	258	17,3
2,0 1,3615	29	0,0249	-	1,7	-	-	-	1,1	180	26,9
2,5 1,3630	31	0,0515	19,5	1,9	-	-	-	1,2	106	32,8
3,0 1,3775	39	0,1049	19,4	2,2	24	-	-	1,5	77	38,3
3,5 1,3825	41	0,1355	15,7	2,7	27	-	-	2,3	58	60,3
4,0 1,3840	43	0,1552	9,2	3,0	38	-	-	2,8	40	64,0
4,5 1,3850	45	0,1931	8,0	3,4	40	134	-	3,9	23	104,0
5,0 1,3885	48	0,2046	6,7	3,7	38	148	-	4,8	16	115,0
5,5 1,3890	49	0,2202	5,8	3,8	36	148	-	6,1	11	128,3

4. Elektrické vlastnosti

4.1. Všeobecná charakteristika

Textilné vlákna zaraďujeme podľa elektrických vlastností medzi elektrické izolátory. Je známe, že trením na vláknoch vzniká elektrický náboj. Zavádzaním syntetických vláken do výroby vznikajú nové ľahkosti v technológii. Na týchto vláknoch veľmi ľahko vzniká elektrický náboj, ktorý spôsobuje veľké ľahkosti pri technologickom spracovaní. Elektrický náboj pritahuje čiastočky prachu a tým zapríčinuje znečistenie. Rovnako polarizované konce vláken sa odpudzujú od seba a spôsobujú zhluhy vláken, ktoré zvyšujú nerovnomernosť prameňa alebo predpriadze.

Pretože vlákna sú izolátory, majú vysoký elektrický odpor. Prítomnosť vody, iónov atď... elektrickú vodivosť zvyšuje. Pridávaním elektrolitov do avivážnych prostriedkov sa podstatne znižuje elektrický odpor. Dosiahne sa tým znižovanie tvorby elektrostatického náboja.

4.2. Elektrostatický náboj

Elektrostatický náboj vzniká pri vzájomnom styku a trení elektrických nevodivých telies.

Procesy vzniku náboja možno rozdeliť na rovnovážne a kinetické. Za mechanizmus prenosu náboja sa považuje vznik elektrickej dvojvrstvy prechodom elektrónov cez rozhranie styku telies.

Pri mechanickom oddialení povrchov sa elektrická dvojvrstva rozdelí tak, že na jednom telesu zostáva kladný a na druhom záporný náboj./19/. Povrchová hustota náboja v nasýtenom stave pri styku s kovom sa dá vyjedriť vzťahom:

$$\sigma = \pm 1,77 \cdot 10^{-9} \cdot \epsilon \cdot \frac{|\Phi_m - \Phi_d|}{\lambda} / \text{C.cm}^{-2}$$

kde ϵ - je dielektrická konštantá dielektrika

Φ_m, Φ_d - sú výstupné práce kovu a dielektrika

λ - je hrúbka povrchovej vrstvy dielektrického telesa

Počas vzájomného styku dvoch dielektrík je povrchová hustota daná vzťahom:

$$\sigma = \pm 1,77 \cdot 10^{-9} \frac{\Delta \Phi - \Delta \chi}{\frac{\lambda_1}{\epsilon_1} + \frac{\lambda_2}{\epsilon_2}} / \text{C.cm}^{-2}$$

kde $\Delta \Phi$ - je rozdiel výstupných prác dielektrík

$\Delta \chi$ - je rozdiel elektrónových afinit dielektrík

λ_1, λ_2 - sú hrúbky povrchových vrstiev s dielektrickými konštantami ϵ_1 a ϵ_2 .

Tieto vzťahy platia pre rovné povrhy. Prechod náboja ovplyvňujú nečistoty, oxidačné produkty atď.

Na vzniku statickej elektriny sa uplatňujú okrem rovnovážneho procesu tvorby elektrickej dvojvrstvy ešte aj kinetické procesy. Pri trení sa kinetické procesy dajú vysvetliť tým, že v styčných bodoch oboch povrchov na mikroskopických nerovnosťach vznikajú vysoké lokálne teploty, ktoré vedú k tepelnnej difúzii častic z horúcich miest do okolia /5/.

Pri trení dochádza zároveň k uplatneniu rovnovážnych i kinetických efektov. Pritom vznikajúce hodnoty náboja na reálnom dielektriku sú výsledkom prebiehajúcich dejov. Maximálne hustota náboja dvojvrstvy sa pri oddeľení povrchov nezachováva, ale znížuje sa so zvyšovaním vzdialenosťí medzi plochami.

Najväčší podiel pri vybíjaní má elektrická vodivosť povrchu, ktorá spôsobí vyrovnanie oblastí s opačnými nábojmi a prebytok nábojov jedného znamienka sa odvedie do okolia /2/. Pri trení, keď dochádza k opakovanému styku dvoch telies, prebiehajú súčasne deje vzniku a zániku náboja. V určitých oblastiach telesa sa vytvárajú teritóriá vyšej a nižšej hustoty náboja.

Hlavné faktory, ktoré ovplyvňujú výšku náboja na vláknoch alebo tkanine, musíme hľadať v chemickom zložení vlákna, jeho trecích vlastnostiach a elektrickej vodivosti povrchu.

4.3. Princíp kumulačnej metódy

Elektrostatický náboj môže vzniknúť i samotným kontaktom, bez toho, že by došlo k styku dvoch telies. Prvotný vplyv vzniku elektrostatického náboja spočíva vo vlastnej molekulárnej štruktúre /9/.

Sekundárny vplyv je podmienený trením. So zvyšovaním prítlaku na trecie teleso sa zvyšuje hodnota náboja. Zvýšenie prítlaku vyvolá zväčšenie povrchovej deformácie a zvýšenie styč-

nej plochy. Trenie sprevádza teplo, ktoré spôsobuje i nepriamo odparovanie povrchovoabsorbovaných molekúl vody, čo tiež ovplyvňuje tvorbu náboja.

Vo výrobe sa vyskytuje najviac opakovane trenie. Z toho sa vychádza pri definovaní kumulačnej metódy:

- a/ Pri vzájomnom trení dvoch dielektrických telies ľubovoľne dlhú dobu zistíme, že po zrušení kontaktu sa na povrchu nachádza určitý náboj.
- b/ Keď trenie opakujeme s prerošovaním viackrát, hustota náboja sa bude postupne zvyšovať. Zhromažďovanie náboja pri opakovom trení voláme kumulácia elektrostatického náboja.
- c/ Zvyšovanie množstva náboja sa po určitom počte trecích cyklov ustáli.
- d/ Opakovým trením sa dajú nabit dielektriká na vysoké potenciály, ale iba do nasýteného stavu, ktorý je charakteristický pre dané dielektriká.

Kumulácia potvrdzuje, že pri prerošovnom trení sa dielektriká nabíjajú silnejšie ako pri neprerošovanom.

Zvyšenie množstva náboja pri kumulačnej metóde môžeme sledovať meraním intenzity pola bezdotykovou metódou /10/.

Priebeh kumulácie je blízky exponenciálnej funkcie. /viď obr.č. 10/ Priebeh násbíjenia vyjadrujeme intenzitou pola E, pre ktorú platí:

$$E = A \cdot e^{k \cdot p} + C$$

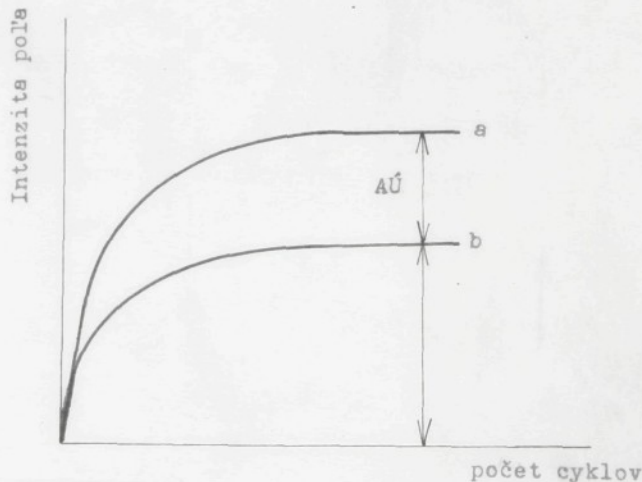
kde p - je počet opakovanych trení

A, k, C - sú konštanty určené dielektrickými vlastnosťami izolantu

4.4. Antistatická účinnosť

Na základe antistatickej účinnosti sa hodnotia niektoré dobré vlastnosti preparácie na vlákne. Antistatická účinnosť je závislá na obsahu preparácie, klimatických podmienkach a type vlákna. Rozdielna účinnosť súvisí s rozdielom adsorbčnej orientácie molekúl tenzidu na povrchu vláken. Vplyv antistatickej úpravy sa prejaví v nižšom priebehu nabíjania. /krivka "b" na obr.č.10 /

obr.č.10 Nabíjacia krivka vlákna s preparáciou /b/ a bez preparácie /a/



Antistatická účinnosť úpravy sa zistí podľa vzťahu:

$$AÚ = 100 / 1 - \frac{E_2}{E_1} / \% /$$

kde AÚ - je antistatická účinnosť v %

E_1 - je intenzita pola neupravenej vzorky

E_2 - je intenzita pola upravenej vzorky

5. Chemicke vlastnosti

5.1. Vplyv vody a vodnej pary na vlastnosti PES vlákna

Polyesterové vlákna sú schopné prijať nepatrné množstvo vlhkosti. Za normálnych podmienok prijme suché vlákno asi 0,4% vlhkosti. Prijaté množstvo je závislé na relatívnej vlhkosti ovzdušia.

Pevnosť a ťažnosť vo vode zostáva rovnaká ako za sucha. Dlhšie pôsobenie horúcej vody alebo vodnej pary hydrolyzuje vlákna, /1/ pričom sa menia fyzikálno-mechanické vlastnosti: znižujú sa hodnoty pevnosti, ťažnosti, tržnej dĺžky.

Zvýšený tlak pary spôsobuje takisto hydrolyzu esterových skupín.

5.2. Vplyv kyselín

Kyseliny vlákno hydrolyzujú, zároveň s tým klesá limitné viskozitné číslo. Pokles viskozitného čísla negatívne sa odráža na pevnosti.

Kyseliny môžu vniknúť do štruktúry vlákna, kde napádajú molekuly a spôsobujú rozklad PES. Proces rozkladu ovplyvňuje koncentrácia, čas pôsobenia kyseliny, teplota. Tieto činitele sú v určitom vzťahu, ktorý vyjadruje tabuľka č. 3 /1/.

Najvhodnejším rozpúšťadlom je kyselina sírová. Silnejšie účinky na polyester majú kyseliny dusičná a chlórovodíková.

tab.č. 3

teplota °C	koncentrácia %	zmena pevnosti %
40	10	0
	20	0
	30	1
	40	2
	50	5
	60	15
	70	28
70	10	0
	20	1
	30	2
	40	10
	50	24
	60	50
95	10	2
	20	4
	30	10
	40	40

5.3. Vplyv zásad

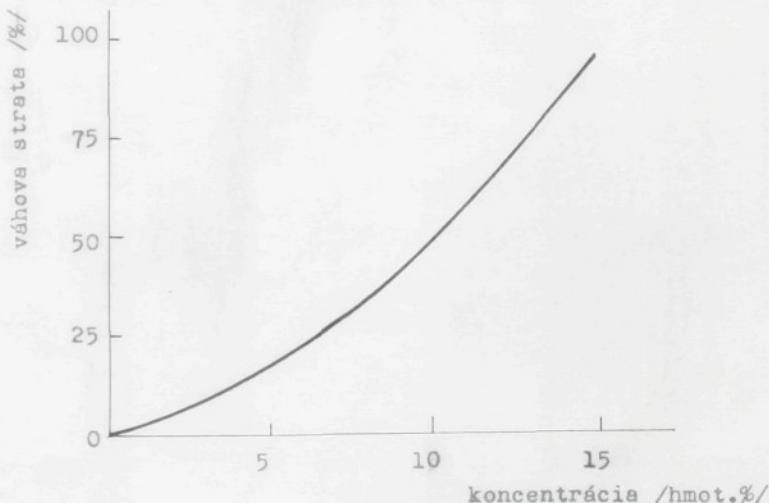
Pri styku s teplými lúhmi sa PES - vlákna zmydelňujú. Reakcia prebieha iba na povrchu, zvyšok vlákna záchováva pôvodnú molekulovú hmotu. Chovanie sa PES zase závisí na čase, teplote a koncentrácií lúhu. Pri niektorých operáciach je vlákno krátka dobu vystavené účinkom lúhu, ktorý však nezanecháva žiadne následky.

Lúh sodný v horúcom stave hydrolyzuje povrch vlákna, čo spôsobuje stratu pevnosti a úbytok hmotnosti./1/ Váhová strata v závislosti na koncentrácií má exponenciálny priebeh, ktorý zobrazuje obr.č. 11

Pôsobenie ostatných lúhov je podobné. Amoník a dusíkaté

zásady zmenšujú molekulovú hmotu a tým i pevnosť. /5/

obr.čl. 11 Vplyv koncentrácie NaOH na úbytok hmotnosti vlákna Td 2 za hodinu pri 100°C



5.4. Vplyv oxidačných a redukčných činidiel.

S oxidačnými a redukčnými činidlami môžu PES vlákna prísť so styku pri zošľachťovaní.

Chlornan sodný poškodzuje PES vlákna až po dlhšom pôsobení a to sice pri menšom pH.

Chloritan sodný a dvojchroman sodný za normálnych podmienok vlákna nepoškodzujú.

PES znáša pôsobenie peroxidu vodíka dobre. Pri teplote 25 °C 80 %-ný peroxid vodíka za 12 týždňov zmenší pevnosť o 15 až 20 %. /5/.

5.5. Vplyv organických látok.

Pôsobenie acetónu, benzolu, chloroformu, trichlóretylénu nezanecháva počas 24 hodinového pôsobenia pri teplote 20 °C následky v zmene pevnosti /1/.

Chlórované uhlovodíky zmršťujú neustálené PES vlákna.

Najmä metylenchlorid a chloroform.

Niektoré organické látky spôsobujú napučenie PES napr.: kyselina benzoová, salicylová, fenol atď.

B. Experimentálna časť.

1. Stanovenie pevnosti.

Skúšky pevnosti a ťažnosti boli prevedené na plnosautomatickom prístroji pre skúšanie pevnosti v ťahu TEXTIMAT 1505 od firmy ZWICK. Na prístroji TEXTIMAT 1505 možno skúšať monofil, hodváb, priadzu, nite a kord.

Pre nastavenie danyx parametrov skúšky sú v prístroji zabudované zariadenia, ktoré po nastavení automaticky za sebou podľa jednotlivých nutných úkonov fungujú.

Parametre prístroja, obsluhu, funkciu jednotlivých zariadení popisuje literatúra /16/.

1.1. Postup práce.

Skúškam pevnosti v ťahu a predĺženia v ťahu bol podrobenejší materiál PES h Slotera o Td 60/12, 60/24, 120/36, 75/24, 150/36.

Náhodným výberom z partie bol vybraný súbor o počte 5-ich kopsov. Z každého kopsu sa previedlo 50 meraní a boli vypočítané najdôležitejšie štatistické veličiny ako priemer pevnosti a ťažnosti z každého kopsu \bar{x} a priemer súboru $\bar{\bar{x}}$, smerodatná odchylka u jednotlivých kopsov s_k , smerodatná odchylka súboru s a variacný koeficient súboru v . Skúšky boli prevedené podľa platných čs. noriem.

Podmienky merania: - upínacia dĺžka 500 mm

- rýchlosť 20 minút

- predpätie 30 p

1.1.1. Výsledky

tab.č.4 Jemnosť PES h Slotera

Td menovité	60/12	60/24	120/36	75/24	150/36
Td skutočné	61,45	63,34	127,23	74,60	152,10

tab.č. 5 Pevnost PES h Slotera 60/12

kops č.	1	2	3	4	5
/ p/	300	320	340	320	300
	320	320	320	320	280
	320	320	340	320	260
	320	320	340	320	280
	320	320	320	320	300
	300	320	320	320	260
	300	300	320	320	280
	320	300	320	280	280
	300	320	320	320	260
	320	320	340	320	280
\bar{x} p	312	316	328	316	278
$s_k + p$	11,30	8,44	11,30	12,62	14,62
\bar{x} p			362		
$s + p$			27,90		
v %			7,34		

tab.č. 6 Ťažnosť PES h Slotera 60/12

kops č.	1	2	3	4	5
/ % /	9,2	9,6	11,8	9,6	11,8
	9,6	10,0	12,0	10,4	10,0
	10,8	10,6	13,2	9,0	10,8
	9,4	11,2	13,0	10,4	10,0
	9,6	10,8	11,4	11,2	12,0
	10,2	9,8	11,0	9,2	9,0
	9,4	9,0	10,6	9,2	11,4
	11,8	9,0	8,4	7,9	9,0
	11,0	9,0	9,4	8,8	8,6
	8,6	10,6	11,2	9,0	10,4
\bar{x} %	9,96	9,96	11,20	9,46	10,30
$s_k + %$	0,96	0,82	1,40	0,94	1,10
\bar{x} %			9,80		
$s + %$			1,11		
v %			11,35		

tab.č. 7 Pevnost PES h Slotera 60/24

kops č.	1	2	3	4	5
/p/	400	400	440	440	420
	420	420	400	440	440
	420	420	420	420	400
	420	420	420	420	420
	420	420	420	400	420
	440	420	420	420	400
	420	420	400	420	420
	420	420	400	420	420
	420	420	400	420	420
	420	420	420	420	420
\bar{x} /p/	420	422	410	422	418
$s_{\bar{x}}/ \pm$ p/	9,41	6,33	10,45	11,34	11,34
\bar{x} /p/			418,4		
s / \pm p/			10,56		
v %/			2,52		

tab.č. 8 Ťažnosť PES h Slotera 60/24

kops	1	2	3	4	5
/%/	7,0	8,2	8,8	7,6	9,6
	8,0	8,6	8,4	8,4	9,0
	8,0	8,8	7,6	7,6	9,0
	9,4	9,6	8,0	8,4	8,4
	9,2	7,6	9,2	8,2	9,0
	9,6	8,4	9,0	9,0	10,0
	10,4	8,8	9,6	9,6	9,4
	9,5	7,4	8,4	9,2	10,8
	8,0	8,4	9,6	9,4	10,6
	9,8	8,6	8,4	8,8	9,6
\bar{x} %/	8,90	8,44	8,70	8,62	9,46
$s_{\bar{x}}/ \pm$ %/	1,10	0,63	0,56	0,70	0,85
\bar{x} %/			8,82		
s / \pm %/			0,83		
v %/			9,41		

tab.č. 9 Pevnost PES h Slotera 75/24

kops č.	1	2	3	4	5
/p/	340	360	360	380	380
	360	340	360	380	380
	360	340	360	360	380
	360	360	340	340	360
	360	360	340	360	340
	360	360	360	360	340
	360	360	360	360	380
	360	360	340	360	360
	380	360	360	360	380
	380	360	360	340	400
\bar{x} /p/	362	356	354	360	370
$s_x / \pm p/$	11,4	8,4	9,7	13,4	19,7
\bar{x} /p/			360,4		
$s / \pm p/$			13,5		
v %/			3,74		

tab.č.10 Tažnosť PES h Slotera 75/24

kops č.	1	2	3	4	5
/%/	22,0	21,0	22,5	25,0	27,0
	21,5	22,5	19,5	22,5	25,0
	21,0	21,5	20,0	20,0	25,0
	20,0	19,6	21,0	20,0	23,0
	21,0	20,0	22,5	20,0	19,0
	19,5	21,5	23,0	20,0	19,0
	22,5	22,5	21,0	20,5	25,5
	22,0	21,0	24,0	19,5	26,0
	21,0	21,5	22,0	22,0	27,0
	24,0	22,5	21,5	20,5	26,0
$\bar{x} / \%$	21,45	21,35	21,70	21,00	24,25
$s_x / \pm \% /$	1,28	1,02	1,28	1,70	2,99
$\bar{x} / \%$			21,95		
$s / \pm \% /$			2,09		
v %/			9,52		

tab.č.11 Pevnost PES h Slotera 120/36

kops č.	1	2	3	4	5
/p/	800	800	820	820	820
	800	820	800	800	820
	820	820	800	840	820
	760	840	800	840	760
	830	800	800	820	820
	820	820	800	840	800
	820	820	780	840	820
	840	800	760	820	820
	820	800	800	820	800
	820	800	760	840	800
\bar{x} /p/	812	812	792	828	808
$s_k / \pm p/$	21,5	13,9	19,3	13,9	19,3
\bar{x} /p/			810,4		
$s / \pm p/$			65,3		
v %/			8,05		

tab.č.12 Ťažnosť PES h Slotera 120/36

kops č.	1	2	3	4	5
/%/	8,8	8,6	8,4	9,8	9,0
	8,0	8,6	8,0	9,8	10,0
	9,0	9,4	7,2	9,8	9,2
	6,4	9,2	7,8	10,0	10,8
	8,4	8,4	7,4	10,8	9,2
	9,2	10,0	7,6	10,6	9,2
	9,6	10,0	9,0	6,4	10,6
	9,0	8,0	7,2	11,0	9,8
	10,0	7,8	6,8	11,4	10,2
	9,0	7,6	7,6	10,6	9,2
\bar{x} %/	8,98	8,66	7,44	10,44	9,64
$s_k / \pm %/$	0,98	0,75	0,58	0,53	0,58
\bar{x} %/			8,98		
$s / \pm %/$			1,12		
v %/			13,58		

tab.č.13 Pevnost PES h Slotera 150/36

kops č.	1	2	3	4	5
/ p/	640	660	700	680	720
	660	660	660	700	720
	660	680	680	660	700
	680	640	680	720	700
	680	680	720	660	720
	660	680	720	700	700
	640	640	700	700	700
	660	700	700	680	680
	640	680	720	680	700
	660	680	720	720	700
\bar{x} / p/	660	668	700	692	704
$s_{\bar{x}}$ /+ p/	16,33	19,35	24,00	19,35	12,65
\bar{x} / p/			684,8		
s /+ - p/			25,23		
v %/			3,68		

tab.č.14 Tažnost PES h Slotera 150/36

kops č.	1	2	3	4	5
/ %/	20,0	20,0	24,0	22,0	24,0
	23,5	19,5	18,5	24,5	24,5
	22,5	18,0	18,5	17,5	26,5
	22,0	18,0	21,0	21,0	25,5
	21,5	20,5	24,0	17,5	25,0
	19,5	20,5	24,5	21,0	22,0
	17,0	20,5	22,5	19,0	23,5
	18,0	23,0	21,0	20,0	24,0
	17,5	22,0	22,5	19,0	25,0
	20,0	21,5	23,5	21,0	23,5
\bar{x} %/	20,15	20,30	22,00	20,25	24,30
$s_{\bar{x}}$ /+ %/	2,21	1,60	2,20	2,14	1,25
\bar{x} %/			21,40		
s /+ %/			2,44		
v %/			11,40		

Legenda k tabuľkám č. 5 až č. 14

\bar{x} - aritmetický priemer príslušného kopsu

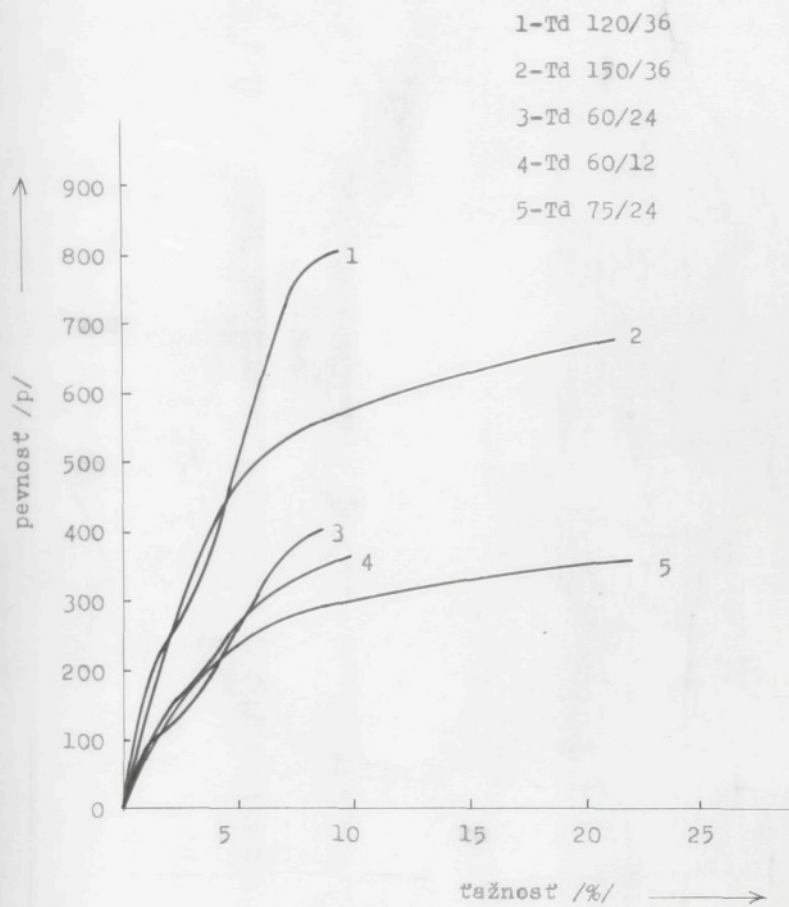
s_k - smerodatná odchylka príslušného kopsu

$\bar{\bar{x}}$ - aritmetický priemer súboru

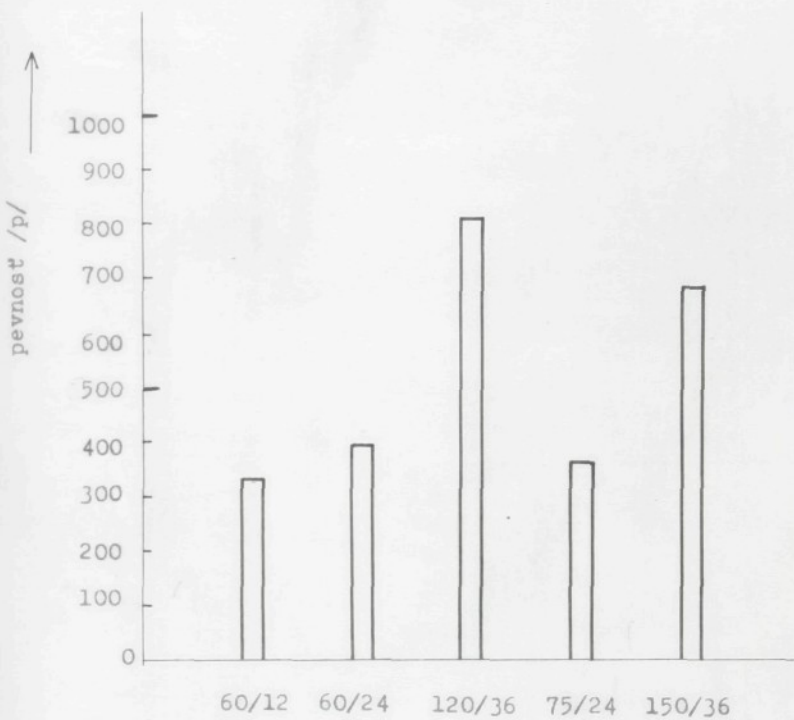
s - smerodatná odchylka súboru

v - variacný koeficient súboru

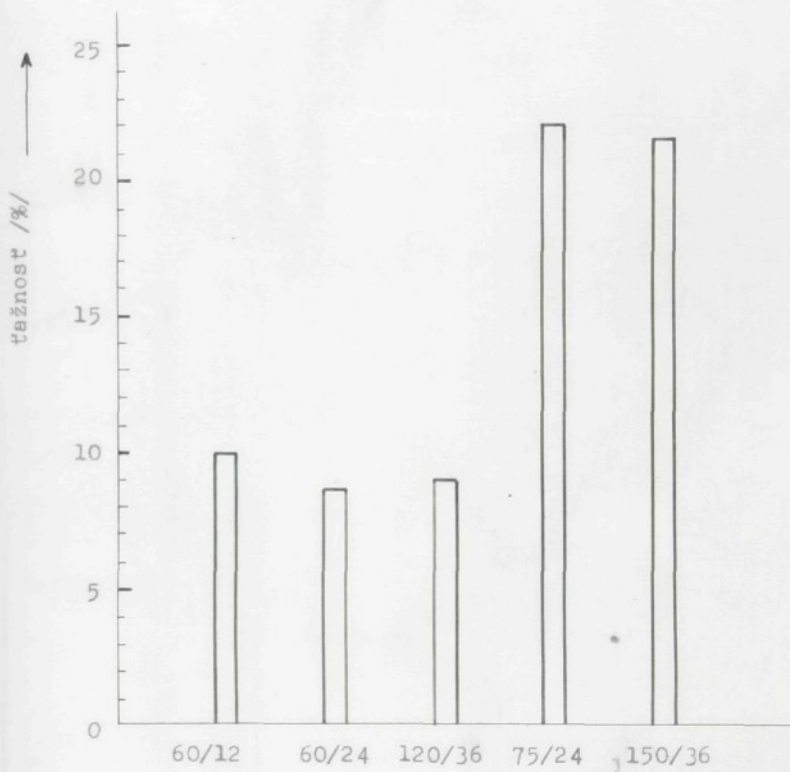
obr.č.12 Pracovné krivky PES h Sloters



obr.č.13 Diagramy pevnosti PES h Slotera



obr. č. 14 Diagramy ťažnosti PES h Slotera



tab.č. 15 Výsledná tabulka jemnosti, pevnosti a tažnosti PES h Slotera.

Td menovitý	60/12	60/24	120/36	75/24	150/36
Td skutočný	61,45	63,34	127,23	74,60	152,10
Ø pevnosť/p/	328,0	418,4	810,4	360,4	684,8
s _{pev.} /± p/	27,90	10,56	65,30	13,50	25,23
v _{pev.} /%/	7,34	2,52	8,05	3,74	3,68
Ø tažnosť/%	9,80	8,82	8,98	21,95	21,40
s _{taž.} /± %/	1,11	0,83	1,22	2,09	2,44
v _{taž.} /%/	11,35	9,41	13,58	9,52	11,40
p/den.	5,35	6,63	6,35	4,82	4,50

1.1.2 Zhodnotenie výsledkov.

Od účelu použitia závisí aj pevnosť a ľažnosť hodvábu. Dve rovnaké čísla sa môžu značne líšiť. VP PES h Td 60/24 je o 100 p pevnejší ako PES h 60/12, pričom v ľažnosti sa objavuje rozdiel, ktorý činí iba 0,98 %. V porovnaní so zahraničným PES h Trevira Td 67/24 typu AN 712 /13/, ktorý má tieto parametre: pevnosť - 467,0 p

ľažnosť - 10,08 %

vykazuje náš materiál nižšiu pevnosť pri skoro rovnakej ľažnosti.

PES h Slotera Td 60/24 a 120/36 sú hodváby s vysokou pevnosťou pri pomerne nízkej ľažnosti, preto ich nemožno porovnávať s Td 75/24 a 150/36, ktoré pri pevnostiach 360,4 p a 684,8 p majú ľažnosť 21,95 a 21,40 %.

2. Zmrašťivosť.

Zmrašťivosť sa meria na prístroji Contractiometer za týchto podmienok:

- upínacia dĺžka 500 mm
- teplota fixácie 160°C
- doba fixácie 10 minút
- predpätie 0,01 p/den - v závislosti na číslе

Zo súboru 5-ich kopsov sa previedlo 50 skúšok, t.zn. z každého kopsu 10 meraní.

2.1. Výsledky.

tab.č.18 Zmraštivosť v horúcom vzduchu pri teplote 160 °C
po dobu 10 minút, PES h Slotera Td 120/36.

kops č.	1	2	3	4	5
/%	9,80	9,50	9,90	9,75	9,75
	9,60	9,30	9,90	9,80	9,80
	9,90	9,50	9,80,	9,75	9,90
	9,75	9,40	10,00	9,80	9,90
	9,75	9,50	9,80	9,80	9,90
	9,75	9,75	10,00	9,80	10,00
	9,70	9,80	9,80	9,80	10,00
	9,50	9,90	9,80	9,75	10,10
	9,75	9,95	10,00	9,80	10,00
	9,50	9,75	9,80	9,80	9,90
$\bar{x} / \%$	9,70	9,77	9,88	9,78	9,92
$s_x / \pm \% /$	0,129	0,199	0,091	0,024	0,103
$\bar{x} / \%$			9,77		
$s / \pm \% /$			0,177		
$v / \% /$			1,815		

tab.č.19 Zmraštivosť v horúcom vzduchu pri teplote 160 °C
po dobu 10 minút, PES h Slotera Td 75/24.

kops č.	1	2	3	4	5
/%	7,60	8,00	7,75	8,00	7,75
	7,60	7,90	7,90	7,90	7,75
	7,60	7,80	7,80	7,80	7,80
	7,70	7,80	7,90	7,75	7,80
	7,50	7,80	7,90	7,80	7,75
	7,75	7,80	7,80	8,00	7,80
	7,80	7,75	7,75	7,90	7,80
	7,80	7,80	7,90	7,90	7,80
	7,80	7,60	7,80	7,80	7,90
	7,80	7,75	7,80	7,90	7,80
$\bar{x} / \%$	7,68	7,80	7,83	7,87	7,79
$s_x / \pm \% /$	0,116	0,103	0,063	0,086	0,044
$\bar{x} / \%$			7,79		
$s / \pm \% /$			0,1025		
$v / \% /$			1,32		

tab.č.20 Zmraštivosť v horúcom vzduchu pri teplote 160 °C

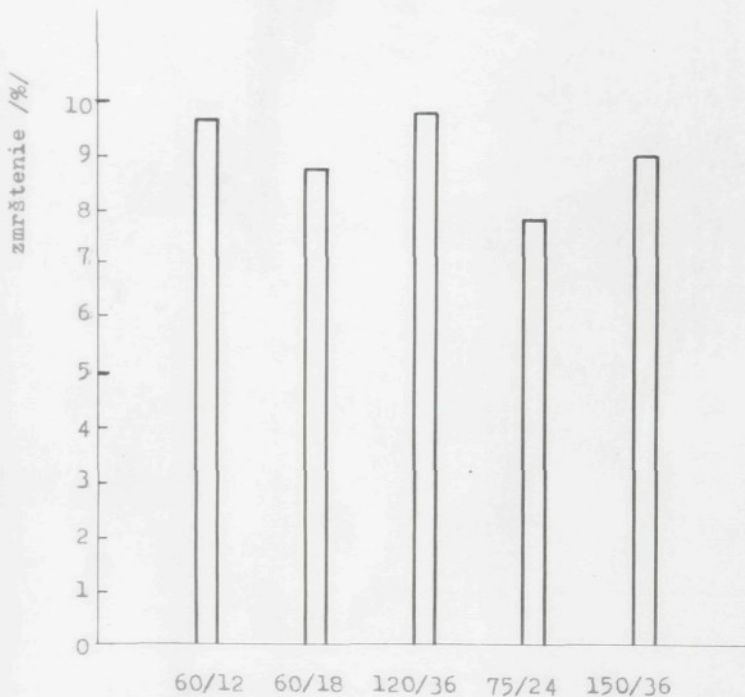
po dobu 10 minút, PES h Slotera Td 150/36.

kops č.	1	2	3	4	5
/%	9,50	9,20	9,00	8,75	8,90
	9,20	8,90	9,00	8,80	9,25
	9,25	8,75	9,00	8,80	9,10
	9,20	8,80	8,80	9,00	9,25
	9,00	9,00	9,00	8,80	9,25
	9,00	9,20	8,70	8,90	8,90
	9,20	9,10	8,80	8,75	9,00
	9,00	9,00	8,80	8,90	9,20
	9,00	9,10	9,00	9,00	9,10
	9,00	9,00	9,20	9,00	9,00
\bar{x} /%	9,11	9,00	8,94	8,87	9,06
$s_k / \pm \%$	0,169	0,153	0,162	0,103	0,145
$\bar{\bar{x}}$ /%			8,97		
$s / \pm \%$			0,174		
v /%			1,94		

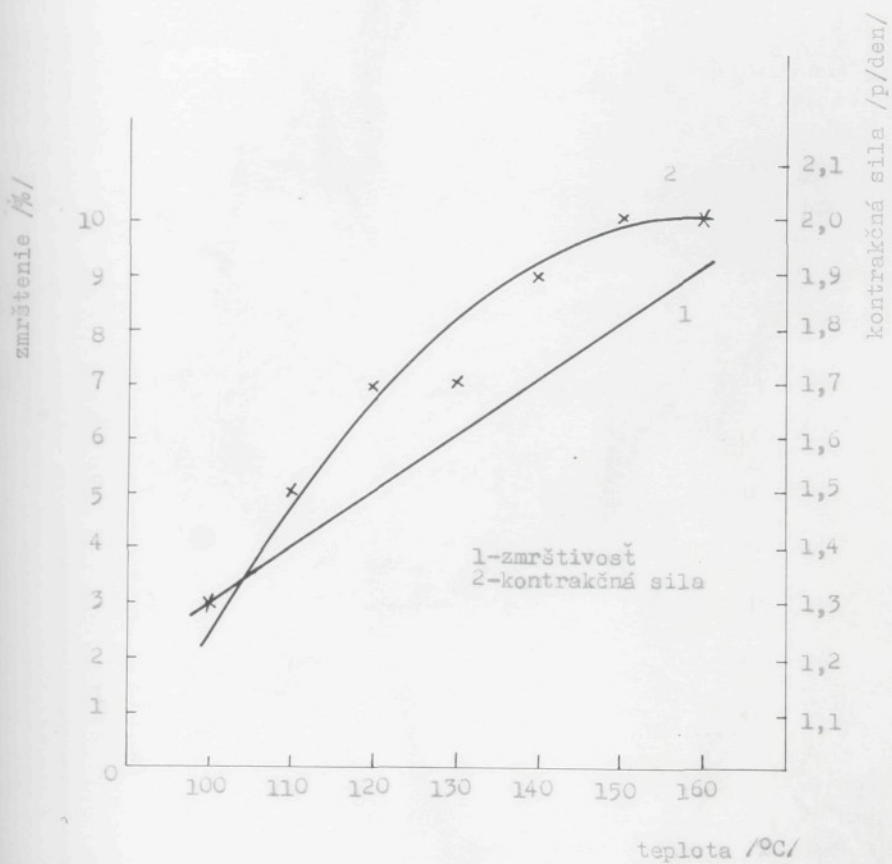
Legenda k tab.č.16 až č. 20

 \bar{x} - aritmetický priemer príslušného kopsu s_k - smerodatná odchylka príslušného kopsu $\bar{\bar{x}}$ - aritmetický priemer súboru s - smerodatná odchylka súboru v - variačný koeficient súboru

obr.č.15 Diagramy zmršťivosti PES h Slotera



Obr. č. 15a. Závislosť kontrakčnej sily a zmrštenia na teplotu nefixovaného PES h Slotera Td60/18.



2.1.1. Zhodnotenie výsledkov

Zmraštivosť PiS h Slotera sa pohybuje v rozmedzí 8-10 % /viď obr.č.15/. Tieto hodnoty nevplyvňuje ani tá skutočnosť, že Td 75/24 a 150/24 sú normálne typy hodvábov oproti Td 60/12, 60/18 a 120/36, ktoré sú vysokopevné určené pre nitiarenske výrobky.

Závislosť zmrštenia a kontrakčnej sily na teplote znázorňuje obr.č.15a. Zo závislosti je zrejmé, že so zvyšovaním teploty fixácie stúpa zmraštivosť a kontrakčná sila. Priebeh zmršťosti má lineárny charakter po teplotu fixácie 160°C .

2.2. DTA

Princíp metódy je popísaný v kapitole 2.3. v teoretickej časti.

Ku skúškam boli vybrané dve rozdielne titre - 60/12 a 120/36. Vlákna sa narezali na dĺžku ssi 0,4 mm. Takto pripravené vlákna umiestnené v množstve 0,25 g v platinovej nádobke sa podrobili analýze oproti referenčnej vzorke Al_2O_3 . Citlivosť DTA sa nastavila na hodnotu 1/1 pri ohrevu 300°C po dobu 100 minút t.j. pri rýchlosťi ohrevu 3°C za minuťu. Počiatočné napätie zdroja predstavuje 65 V. Kalibrácia DTA krivky pre výpočet tepla a tavenia sa previedla podľa postupu B.Ke. Porovnaním plôch pre látku o neznámom teple tavenia s plochou endotermy tavenia látky o známom teple tavenia dostaneme výsledok. V našom prípade sme použili kyselinu benzoovú, $/Q=33,9 \text{ cal/g}/$, ktorá sa v platinovej nádobke zmiešala s Al_2O_3 .

Výsledkom kalibrácie pre citlivosť DTA 1/1 do 300°C je koeficient prepočtu $k=0,3 \text{ cal/cm}^2$.

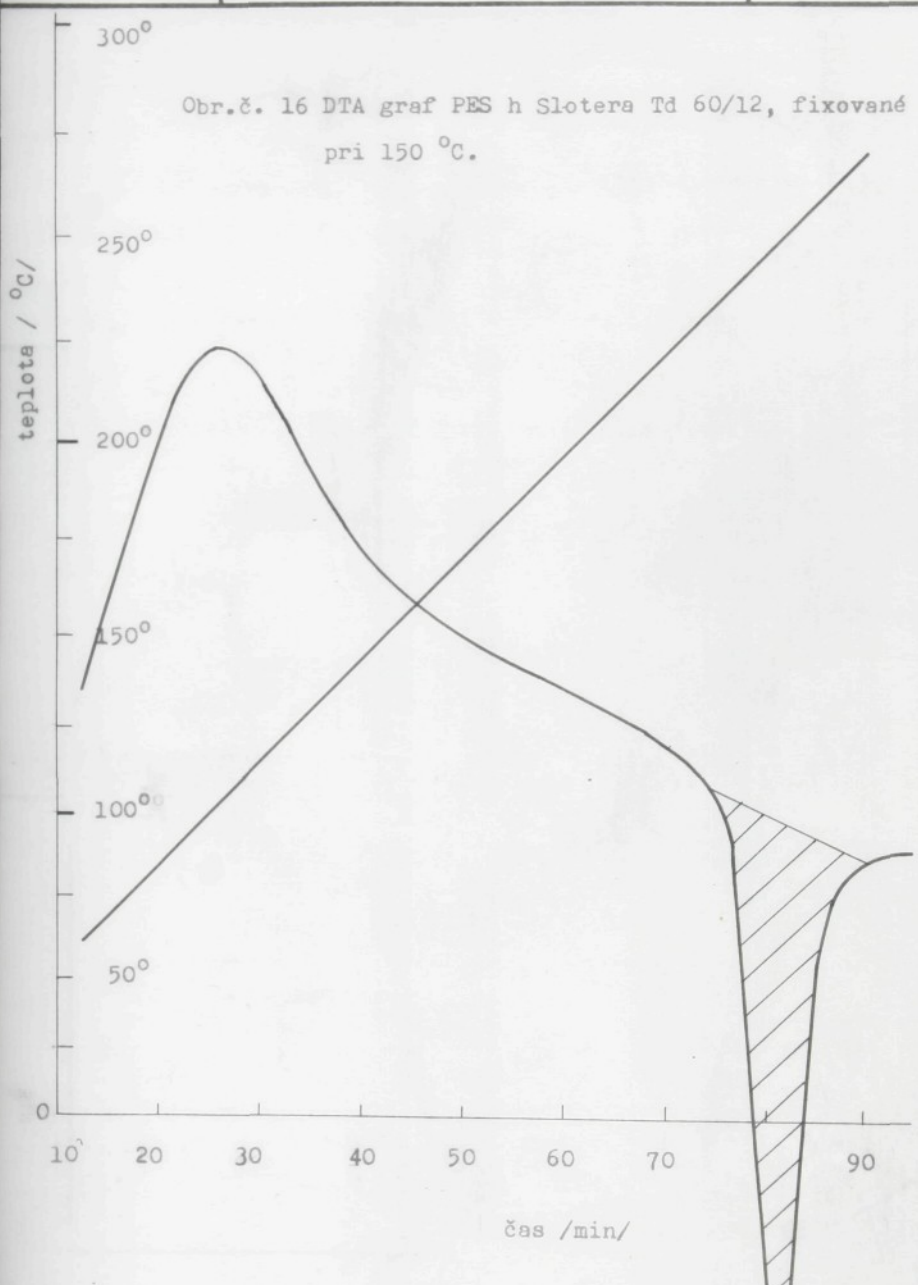
2.2.1. Výsledky DTA

Velkosti vyšrafovovaných plôch na obr.č.16-18 sú zaznamenané v tabuľke č. 21

tab.č. 21.Teplo topenia PES h Slotera Td 60/12 fixovaného na 150 a 210 °C.

	60/12		m=0,1 g kys.benzoová
	fix.150 °C	fix.210 °C	
plocha /cm ² / m = 0,25 g	10,34	9,47	11,32
plocha /cm ² / m = 1 g	41,4	38,9	-
Q /cal/g/ m = 1 g	12,4	11,35	33,9

k = 0,3 cal/cm² - koeficient prepočtu



300°

Obr.č. 17 DTA graf PES h Slotera Td 60/12,
fixované pri 210 °C.

teplota /°C/

250°

200°

150°

100°

50°

0

20

30

40

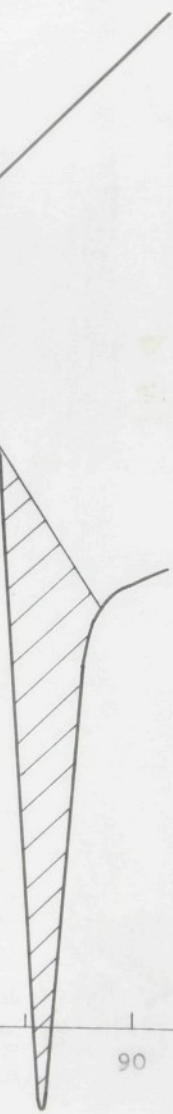
50

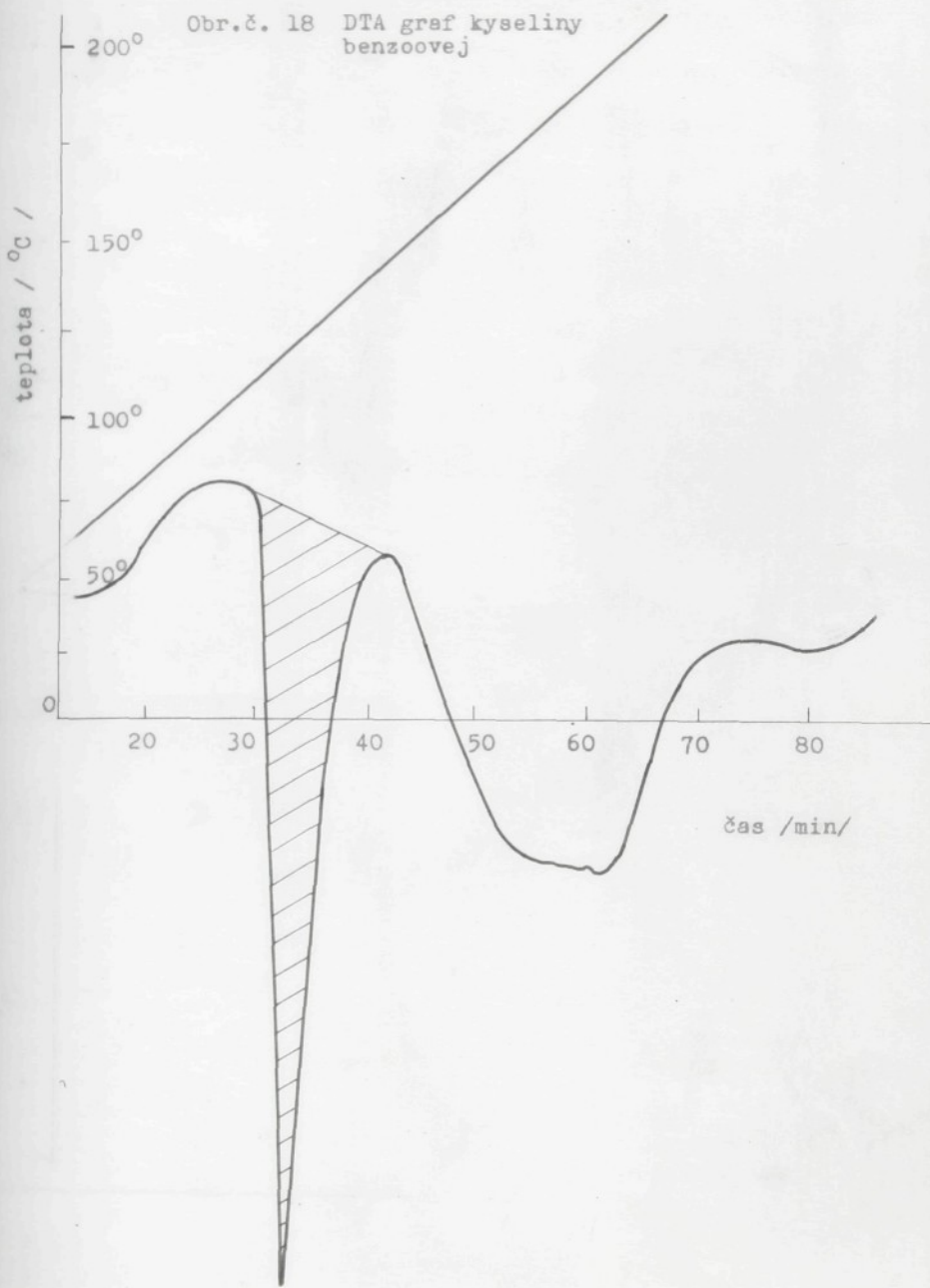
60

70

90

čas /min/





2.2.2. Zhodnotenie DTA

PES h Slotera sa topí pri teplote 250°C . Teplota topenia vlákna fixovaného na 150°C po dobu 90 minút je 12,4 cal/g. U vlákna fixovaného na 210°C nastalo zníženie na 11,35 cal/g, čo odpovedá teórii, ktorá vráví, že menej fixovaný materiál uvolní viac tepla /1/. Získaný výsledok, ktorý uvádza lit./6/, t.zn. teplo topenia PES vlákna fixovaného na 90°C je 12,5 cal/g je v súlade s našim meraním. Vzhľadom k tomu, že ~~sa~~ previedli iba dve merania, výsledok má ráz informatívny.

2.3. Stanovenie rozpúšťacieho tepla .

Teplo rozpúštenia rôzne fixovaného PES h sa meralo kalorimetricky na zariadení konštruovanom podľa Schottky - Ūzmanova. Kalibračná konštanta sa stanovila na základe elektrickej kalibrácie /7/. Konštanta kalibrácie $k = 0,05175 \text{ cal/dielik}$. Vzorky vlákien Td 60/12 a 120/36 sa fixovali v teplovzdušnom fixačnom stroji po dobu 90 minút na 90, 120, 150, 180 a 210 °C. Na väžky vzoriek o váhe 0,5g sa sušili pri teplote 60 °C hodinu, potom vo vákuu ďalšiu hodinu. Vysušené vzorky sa zatavili a temperovali vo vonkajšom plášti kalorimetra pri teplote 22,75 °C. Po vytemperovaní sa previedlo stanovenie rozpúšťacieho tepla v 25-ich ml H_2SO_4 , 84 % koncentrovanej, po rozbití baničky na hrotie vnútornej nádoby kalorimetra. Zmena objemu kvapaliny sa odčítala na kapiláre a pomocou konštanty kapiláry $/k=0,05175 \text{ cal/diel}$ sa prepočítalo rozpúšťacie teplo v kalóriach na gram.

2.3.1. Výsledky

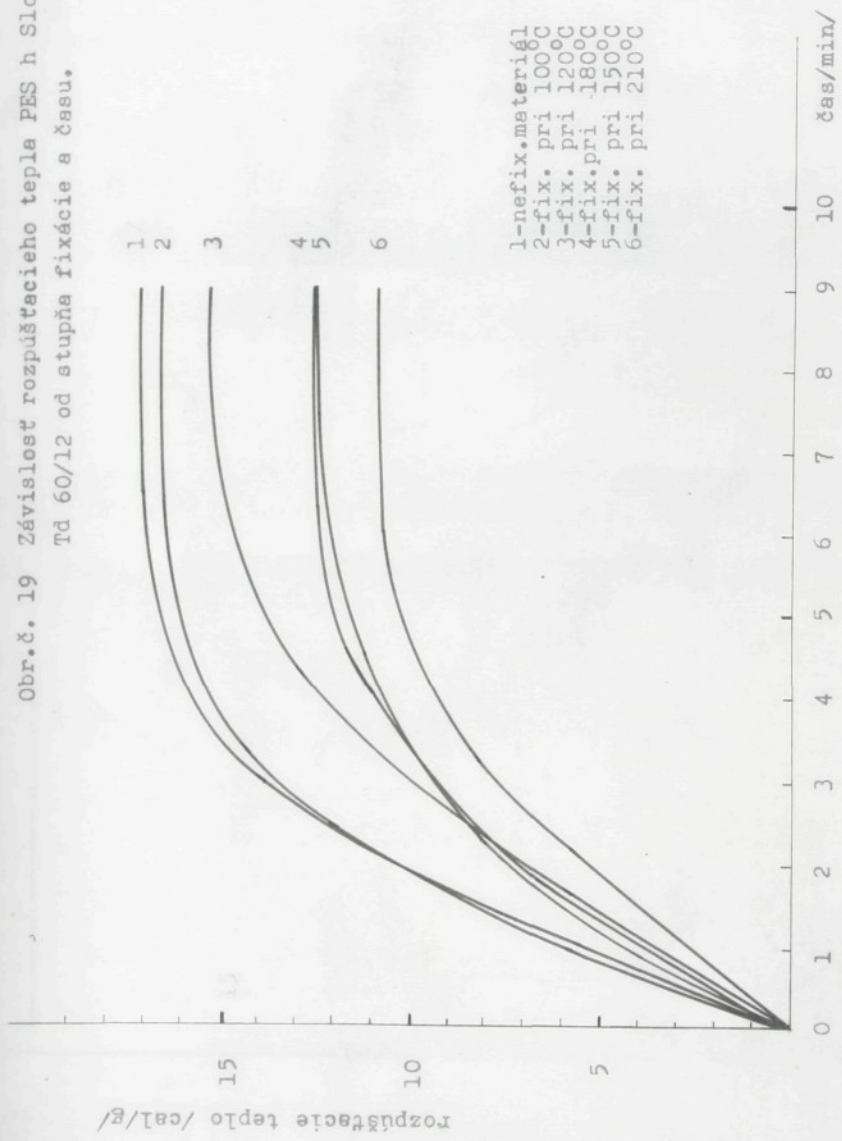
tab.č. 22 Rozpušťacie teplo PES h Slotera Td 60/12 fixovaného na rôzne teploty.

	čas /min/	nefix.	100°	120°	150°	180°	210°
Q /cal/g/	1	5,58	5,98	3,62	3,94	4,86	2,06
	2	10,74	10,34	7,24	7,48	7,04	5,06
	3	13,94	13,32	9,90	9,52	9,30	7,74
	4	15,70	15,20	12,10	10,64	10,74	9,20
	5	16,52	15,90	13,84	11,56	11,98	10,24
	6	17,04	16,50	14,76	12,20	12,30	10,64
	7	17,14	16,50	15,20	12,40	12,50	10,84
	8	17,14	16,50	15,30	12,40	12,50	10,84
	9	17,14	-	15,30	12,40	12,50	10,84

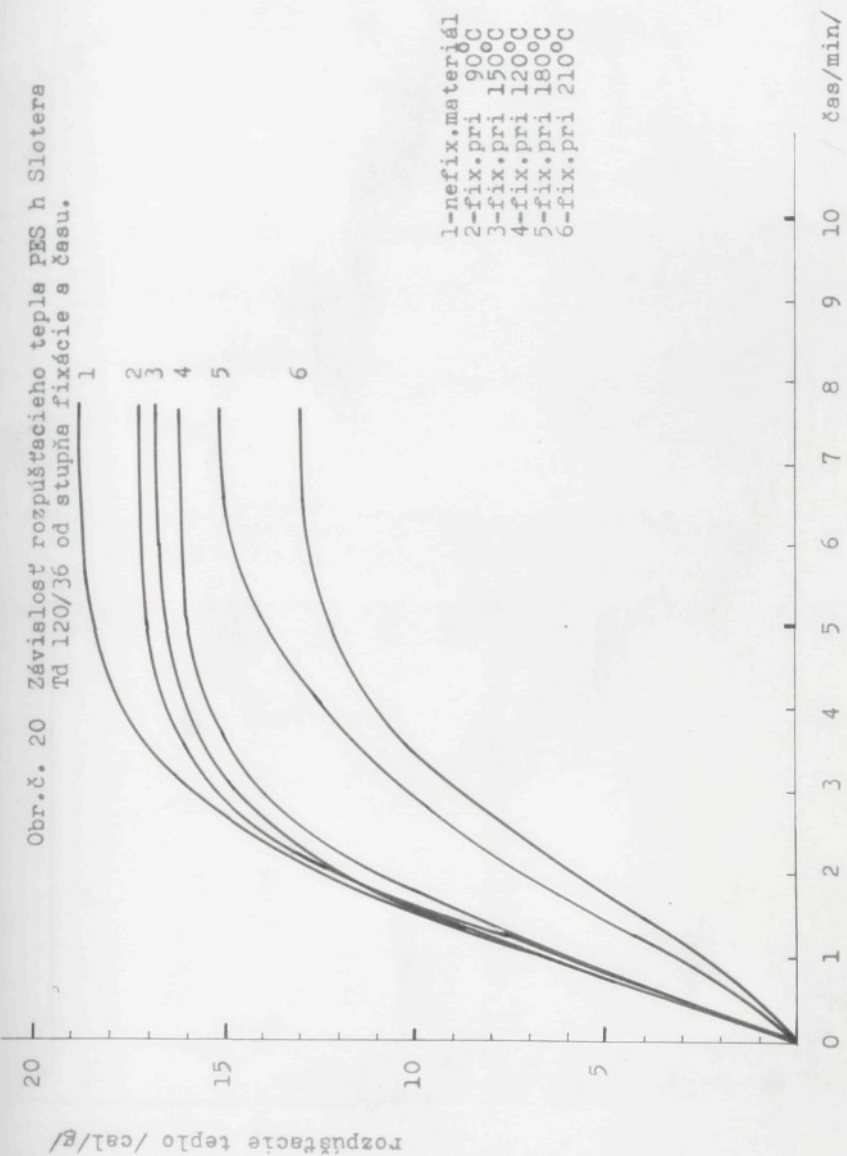
tab.č. 23 Rozpušťacie teplo PES h Slotera Td 120/36 fixovaného na rôzne teploty.

	čas /min/	nefix.	90°	120°	150°	180°	210°
	1	6,60	6,10	5,06	6,72	3,00	2,17
	2	12,38	12,10	11,06	11,68	7,14	5,80
	3	15,70	15,20	13,96	14,60	10,20	8,68
	4	17,60	16,24	15,40	15,90	12,20	10,96
	5	18,40	17,06	16,02	16,66	13,97	12,10
	6	18,60	17,06	16,14	16,74	14,80	12,82
	7	18,60	17,14	16,14	16,74	15,10	12,82
	8	-	17,14	16,14	-	15,20	-

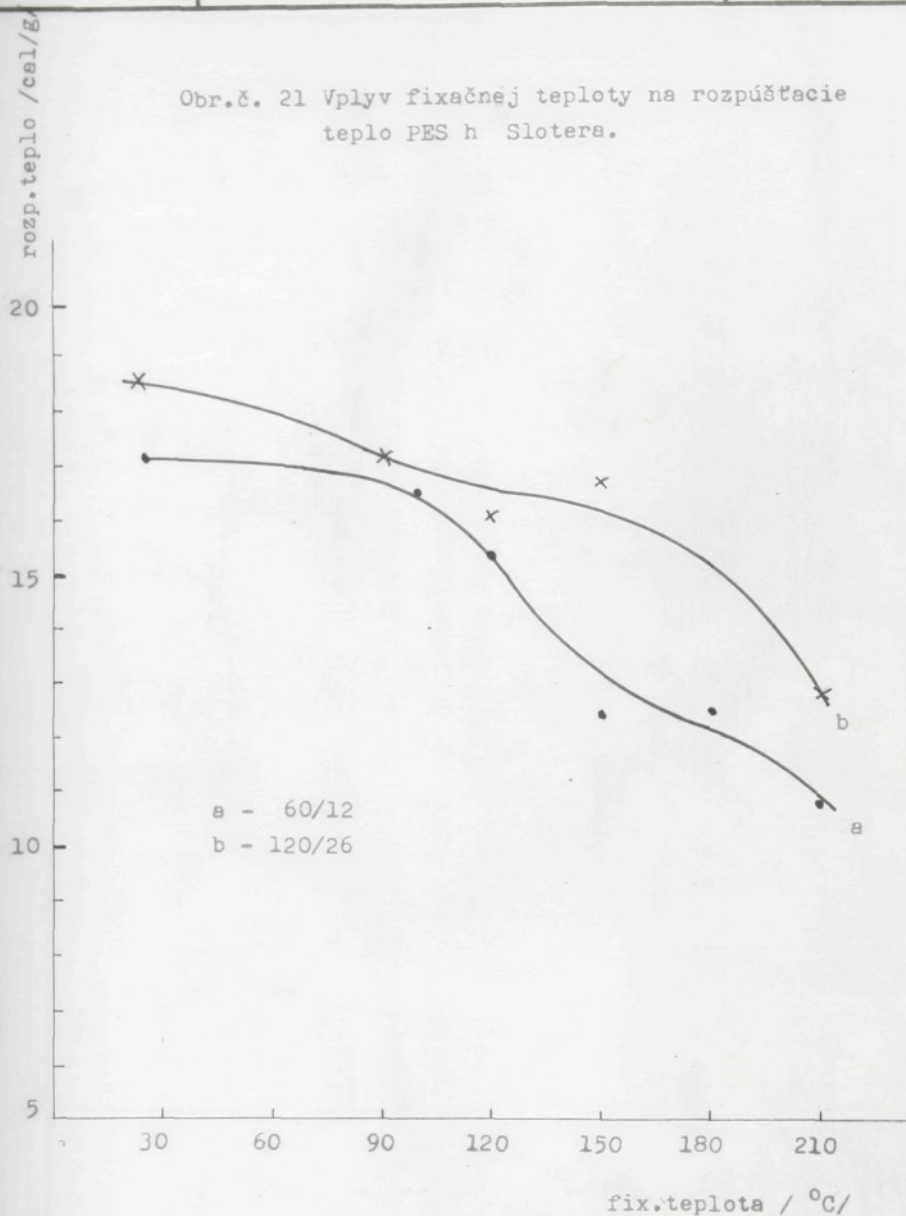
Obr.č. 19 Závislosť rozpušťacieho tepla PES h Slotera
Td 60/12 od stupňa fixácie a času.



Obr. č. 20 Závislost rozpuštacího tepla PES h Sloťera
Td 120/36 od stupňe fixácie a času.



Obr. č. 21 Vplyv fixačnej teploty na rozpúšťacie teplo PES h Slotera.



2.3.2. Zhodnotenie výsledkov.

Nefixované vlákno Td 60/12 uvolní pri rozpúšťaní 17,19 cal/g, fixované na 100 °C 16,5 cal/g, fixované na 120 °C 15,3 cal/g. V porovnaní s Tesilom 12 sa chová Slotera inak. Napr.: rozpúšťacie teplo Tesilu 12 fixovaného pri teplote 150 °C po dobu jednej hodiny v 83 %-nej H_2SO_4 je 39,2 cal/g., to znamená skoro 3-krát viac /6/.

Z obr.č.21 je vidieť, že pri teplote fix. 150 °C došlo u Td 120/36 k zvýšeniu hodnoty rozpúšťacieho tepla. Podobný jav nastal u Td 60/12 pri fixačnej teplote 180 °C. Tieto výkyvy zrejme spôsobila štrukturálna nerovnomernosť v materiáli.

Z obr.č.19 a č.20 vyplýva, že teplo rozpúšťania klesá s rastom fixácie. Trhanie kohéznych síl prebieha do ukončenia rozpúšťania a tento dej spravádza uvoľňovanie tepla.

Na začiatku rozpúšťania teplo prudko vzrástá a po 7-ich-8-ich minútach nadobúda maximálnu hodnotu.

3. Elektrostatický náboj

3.1.1. Elektrizačný prístroj EP - 72

Elektrizačný prístroj EP 72 (obr. č. 22) je určený na meranie statickej elektriny. Je vhodný pre hodnotenie statickej elektriny na neupravených ako i upravených materiáloch.

Prístroj sa skladá z troch základných častí:

- trecí mechanizmus
- snímacie zariadenie
- merací a regulačný systém

Trecím mechanizmom prístroja sa budí na skúšobnej vzorke elektrostatický náboj. Jeho účinky sa merajú pomocou bezdotejkovej indukčnej sondy. Prístroj je tak vybavený, aby sa mohol na ňom merať elektrostatický náboj na materiáloch rôznych form, ako: nekonečné vlákna, priadza, tkaniny, úplety, fólie, dosky atď.

Technické parametre prístroja:

Počet trecích cyklov 1 - 20 kV

Meracie rozsahy I 0 - 3 kV

II 0 - 10 kV

III 0 - 30 kV

Citlivosť $\pm 100 \text{ V/cm}$

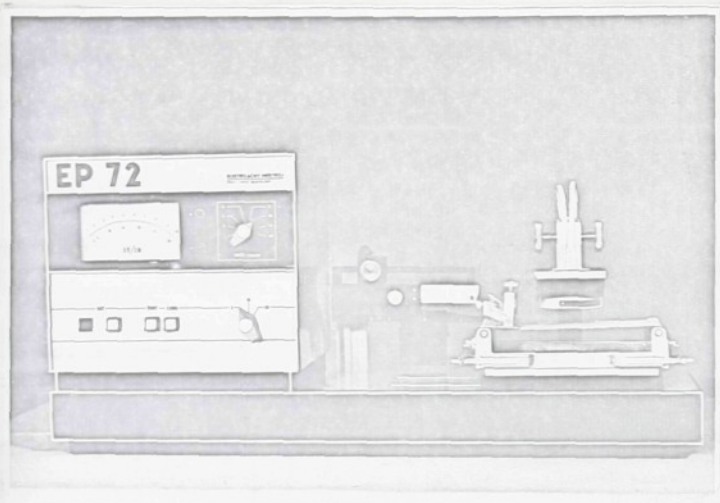
Presnosť 5% z meraného rozsahu

Meraná polarita / + / alebo / - /

Napájací zdroj 220 V 50 Hz

Váha cca 18 kg

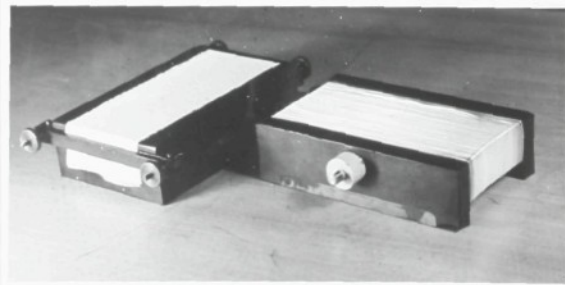
obr.č.22 Elektrizačný prístroj EP - 72.



3.1.1. Príprava vzoriek

Pre skúšky bol vybraný Td 120/36. Aby sa odstránila preparácia, hodváb bol vypraný v benzíne, potom v alkohole a nакoniec v destilovanej vode. Usušený hodváb sa navinul pomocou vijáka na prípravok. /obr.č.23 vpravo/. Takto pripravená vzorka sa nechala klimatizovať po dobu 24 hodín v exikátore na príslušnú relatívnu vlhkosť. V našom prípade na: $\varphi = 30\%$, $\varphi = 50\%$, $\varphi = 70\%$. Počet trecích cyklov bol 10. Merací rozsah sa nastavil podľa velkosti elektrostatického náboja. Hodnoty vybíjacej krivky sa zaznamenávali pri $\varphi = 30\%$ po 1 minúte. U $\varphi = 50\%$ a $\varphi = 70\%$ po 15 sekundách.

Obr.č. 23 Prípravok s materiálom pre meranie
elektrostatického náboja na EP - 72.



3.2. Výsledky

tab.č. 24 Intenzita elektrostatickeho pola.

PES h Slotera Td 120/36 bez preparácie, klimatizované
pri $\Psi = 30\%$
/V/cm/

vz.č.	1		2		3	
	nabíj.	vybíj.po 1 minúte	nabíj.	vybíj.po 1 minúte	nabíj.	vybíj.po 1 minúte
8900	17300	14700	17900	16000	18400	
10000	17400	15200	18000	16200	17000	
11000	17500	15600	18100	16700	16400	
11500	17500	16100	17900	17400	15800	
11700	17500	16000	18000	17500	15300	
12200	17500	16000	17700	17500	14800	
12300	17500	16100	17400	17800	14400	
13000	17300	16000	17200	17800	14000	
13500	16900	16500	17500	18500	13500	
13900	17000	16200	16900	18200	13200	
13900	16700	17000	17100	18600	12900	
14300	16700	17400	16700	18800	12600	
14700	16700	17100	16600	18500	12300	
14700	16600	17000	16900	19000	12000	
14500	16600	17500	16700	19100	11900	
15200	16600	17600	16600	18500	11600	
15000	16500	17400	16600	18600	11300	
15500	16400	18200	16800	19100	11200	
15500	-	17200	16500	19100	11000	
15600	-	17600	16400	18700	10900	
15600	-	17700	-	18800	10600	
15300	-	18100	-	19400	10400	
16100	-	18500	-	19000	10900	
16300	-	17700	-	19100	-	
16500	-	18900	-	18900	-	
16100	-	17500	-	19100	-	
16200	-	17600	-	19700	-	
16400	-	18200	-	19400	-	
16400	-	17600	-	19200	-	
16500	-	17500	-	19100	-	
16500	-	17200	-	19200	-	
16500	-	17600	-	19600	-	
16400	-	18300	-	19300	-	
16500	-	18500	-	19600	-	
16500	-	18200	-	19600	-	

tab.č. 25 Intenzita elektrostatického pola.

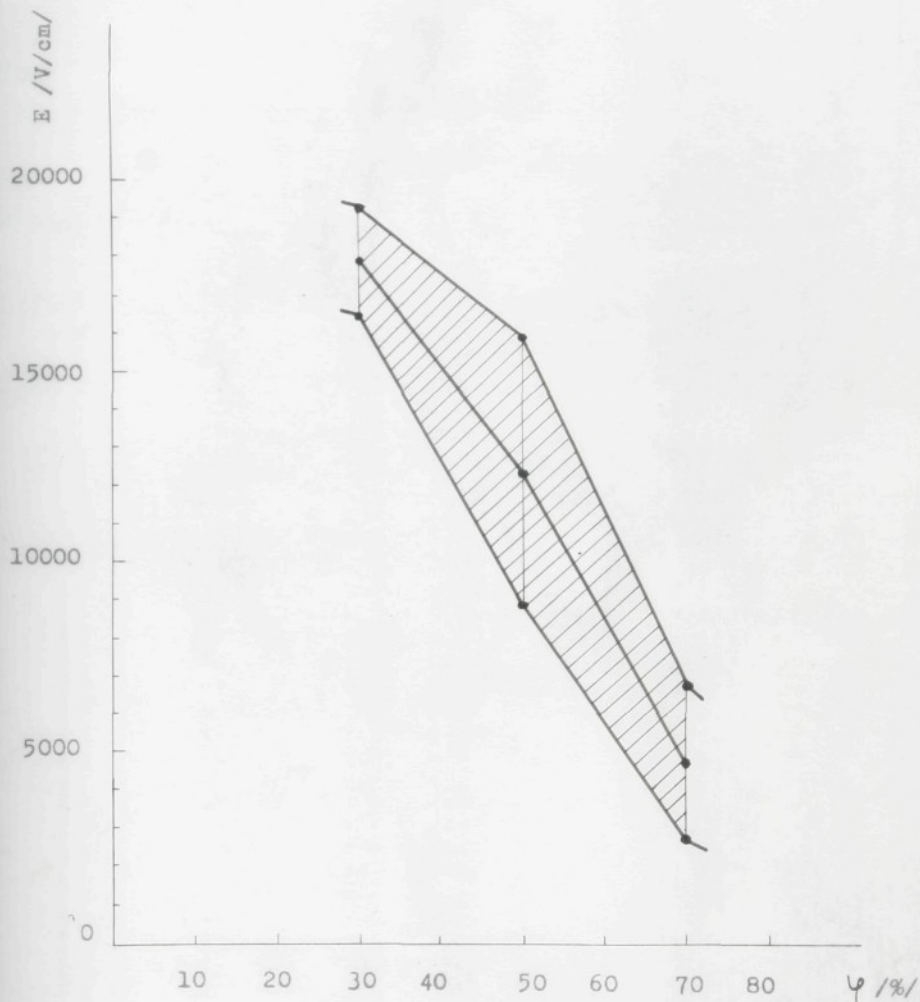
PES h Slotera Td 120/36 bez preparácie, klimatizované pri $\varphi = 50\%$ /V/cm/						
vz.č.	1		2		3	
	nabíj.	vybíj.po 15 sek.	nabíj.	vybíj.po 15 sek.	nabíj.	vybíj.po 15 sek.
9800	10000	5600	5000	5500	4400	
10200	5500	6000	2500	5800	2300	
10300	3200	6200	1600	6100	1600	
10500	2300	6700	1200	16200	1000	
11700	1800	8300	830	6500	700	
12000	1400	8700	670	6700	660	
12500	1100	9000	510	6900	500	
12700	960	9200	430	7200	400	
13100	860	9500	400	7400	400	
13700	710	9700	400	7600	400	
13900	660	10100	400	7700	300	
14000	600	10400	350	7800	300	
14100	650	10800	350	7900	400	
14400	470	11000	200	7900	440	
14700	450	11000	300	8000	400	
14800	440	11200	300	8000	400	
14900	300	11300	200	8100	400	
15000	450	11200	-	8200	-	
15100	400	11400	-	8200	-	
15300	450	11500	-	8300	-	
15300	-	11600	-	8200	-	
15400	-	11700	-	8400	-	
15500	-	11800	-	8400	-	
15300	-	11900	-	8400	-	
15600	-	12000	-	8400	-	
15600	-	12100	-	8600	-	
16000	-	12200	-	8600	-	
15900	*	12400	-	8600	-	
15600	-	12500	-	8600	-	
16000	-	12500	-	8700	-	
16000	-	12500	-	8700	-	
15600	-	12600	-	8700	-	
15600	-	12900	-	8700	-	
15800	-	13000	-	8700	-	
15900	-	13000	-	8700	-	

tab.č.26 Inteniza elektrostatického pola.

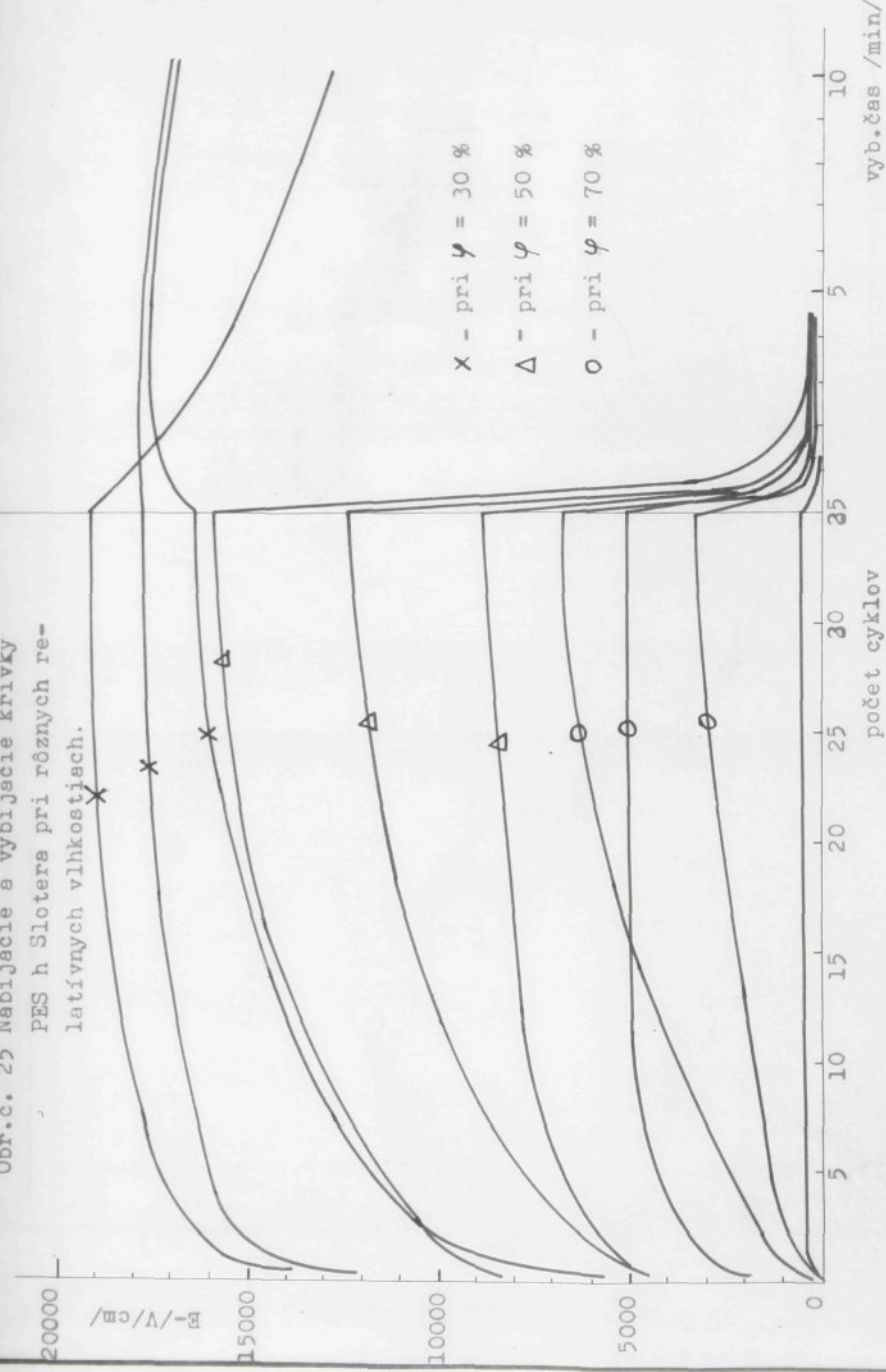
PES h Slotera Td 120/36 bez preparácie, klimatizované pri $\varphi = 70\%$ /V/cm/						
vz.č.	1		2		3	
	nabíj.	vybíj.po 15 sek.	nabíj.	vybíj.po 15 sek.	nabíj.	vybíj.po 15 sek.
1200	1800	3000	4700	500	1200	
1400	800	3500	3000	700	1100	
1750	600	3800	2600	1100	1000	
2000	400	4100	2200	1200	800	
2350	300	4300	2000	1300	600	
2720	300	4500	1800	1500	500	
2900	250	4700	1600	1400	400	
3300	450	4800	1500	1500	400	
3500	400	4900	1300	1700	300	
3800	200	5000	1200	1600	300	
4000	300	4900	900	1800	400	
4400	300	5000	800	1900	300	
4600	300	5000	800	2000	400	
4800	-	5000	500	2100	500	
5000	-	5100	500	2300	400	
5300	-	5000	400	2200	400	
5500	-	5100	400	2300	-	
5500	--	4900	400	2300	-	
5600	-	4900	-	2400	-	
5600	-	5000	-	2600	-	
5500	-	4800	-	2700	-	
5700	-	5000	-	2900	-	
6000	-	5100	-	3100	-	
6100	-	5000	-	3300	-	
6200	-	4900	-	3400	-	
6200	-	4900	-	3500	-	
6300	-	5000	-	3400	-	
6400	-	5000	-	3500	-	
6400	-	5100	-	3500	-	
6500	-	5100	-	3500	-	
6600	-	5100	-	3400	-	
6600	-	5100	-	3400	-	
6700	-	4800	-	3400	-	
6600	-	5000	-	3400	-	
6700	-	5000	-	3400	-	

Hodnoty PES h Slotera Td 120/36 s preparáciou sa pohybovali okolo 500 V/cm pri klimatizácii $\varphi = 30\%, 50\%, 70\%$.

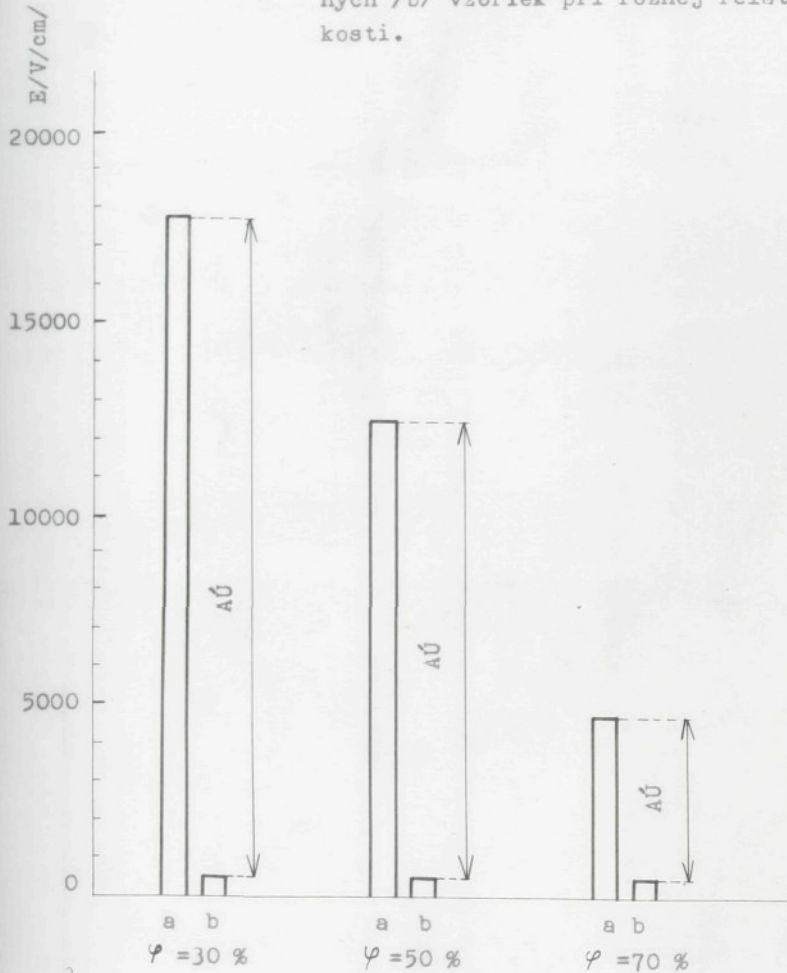
Obr.č. 24 Závislosť tvorby náboja od relatívnej vlhkosti vzduchu.



Obr.č. 25 Nabíjacie a vybíjacie krivky
PES h Slotera pri rôznych re-
latívnych vlhkostíach.



Obr. č. 26 Intenzita pola upravených /a/ a neupravených /b/ vzoriek pri rôznej relatívnej vlhkosti.



tab.č.27 Antistatická účinnosť PES h Slotera
pri rôznych relatívnych vlhkostiah.

φ /%	$\varphi = 30\%$	$\varphi = 50\%$	$\varphi = 70\%$
AÚ /%	98,3	95,8	90

3.2.1. Zhodnotenie výsledkov.

Nabíjanie : na obr.č.25 je vidieť, že krivky na začiatku majú prudký vzostup. Po druhom cykle je priebeh kriviek miernejší a po určitom počte cyklov sa ustaluje - dochádza k nasýteniu. Najvyššie hodnoty elektrostatického náboja dosahujú vzorky, ktoré boli klimatizované na relatívnu vlhkosť $\varphi = 30\%$.

Pri klimatizácii sa dopúšťame určitej nepresnosti, ktorá pri $\varphi = 50\%$ vytvorí širšie pásmo /obr.č. 24 /. To znamená, že hodnoty intenzity ležia ďaleko od seba pri relatívne malej klimatizácii. Táto skutočnosť je zapríčinená strmým spádom krivky $E - \varphi$. Horné a spodné body kriviek predstavujú maximálne hodnoty nebíjaciach kriviek /z obr.č. 25 /. Spojením príslušných bodov sa vytvorí pásmo, kde možno očakávať kolísanie hodnôt v danom rozsahu relatívnych vlhkostí vzduchu.

Vybíjanie : Vzorky klimatizované pri relatívnej vlhkosti $\varphi = 30\%$ sa vybíjajú pozvolna. Značnú časť náboja /podľa priebehu grafu/ si ponechávajú i po hodine. Táto negatívna vlastnosť môže zapríčiniť ťažkosti pri spracovaní v technologickom procese.

Priebeh vybíjiacich kriviek pri relatívnej vlhkosti $\varphi = 50\%$ má exponenciálny charakter. Z počiatku je prudký pokles intenzity, ktorý sa pozvolna ustaluje. Z hodnoty 15800 V/cm klesne intenzita behom 4 minút na 500 V/cm. Táto hodnota zostáva na

vzorkách ako zbytkový náboj.

Priebeh vybíjania pri relatívnej vlhkosti $\varphi = 70\%$ má podobný priebeh ako u $\varphi = 50\%$, iba začiatok vybíjania postupuje z nižších hodnôt.

Z grafov vyplýva, že so zvyšovaním relatívnej vlhkosti sa znižuje elektrizovateľnosť a urýchluje sa únik náboja.

Antistatická úprava dosahuje pri : $\varphi = 30\% \quad AÚ = 98,3\%$

$\varphi = 50\% \quad AÚ = 95,8\%$

$\varphi = 70\% \quad AÚ = 90,0\%$

C. Diskusia

Výroba odevných výrobkov zo syntetických materiálov vyzadala nutnosť použitia syntetických šijacích nití pri kompletizácii. Rozdielne vlastnosti prírodných a syntetických materiálov spôsobili veľké ťažkosti pri rôznych technologických procesoch /napr. pri fixácii rozdielna zmršťivosť, rôzny stupeň sfarbenia atď./.

Spotreba šijacích nití bola krytá dovozom z kapitalistických krajín. Vybudovaním Slovenského hodvábu n.p. Senica, sa situácia zlepšila. Aby kvalita našich výrobkov dosiahla úroveň vyspelých krajín, je nutné zvyšovať kvalitu domáceho materiálu.

† práci sa sledovali niektoré vlastnosti PES h Slotera so zameraním pre vhodnosť použitia pri výrobe šijacích nití.

Fyzikálno-mechanické vlastnosti sledovaných titrov v niektorých prípadoch nezodpovedali na ne kladeným požiadavkám, tak ako uvádzajú literatúra /13/. Vysokopevný PES h Slotera Td 60/24 sa so svojimi parametrami: pevnosť 418,4 p.

ťažnosť 8,82 %

6,63 p/den

dosaahuje žiadané vlastnosti. Je možné, že odchylku od vytýčených požiadaviek spôsobila nevhodná volba skúšacieho zariadenia. Pri zistovaní pevnosti dochádza u rôznych typov trhacích zariadení k nerovnomernostiam vo výsledkoch /3/. Tabuľka č.3 udáva prehľad jemnosti, pevnosti, ťažnosti jednotlivých titrov. Ťažnosť 21,95 % a 21,4 % u Td 75/24 a Td 150/36 je spôsobená typom hodvábu. Musíme brať v úvahu, že PES h Td 60/12,60/24,

120/36 sú vysokopevné hodváby, ktoré boli v procese výroby do datočne dížené. Boli špeciálne vyvinuté pre šijacie nite.

Pri praní a tepelnom namáhaní výrobkov šitých syntetickými nitami dochádza k zmršťovaniu nití. Veľké zmrštenie by spôsobilo znehodnotenie výrobku. Hodnota zmrštenia u PES h sa pohybuje okolo 9 % /tab.č.16-20/, nasledujúcim tepelným spracovaním - fixáciou možno ešte zmršťivosť zhížiť.

PES Slotera ako textilný materiál počas používania sa podrobuje rôznym skúškam pevnostným, tepelným, chemickým. Po fixácii sa vlastnosti PES zlepšujú. Dochádza k uvolňovaniu napäťia vzniklého dížením, vlákno sa stabilizuje. Pri rozpušťaní vlákna sa zistilo, že čím je vyšší stupeň fixácie, tým menej tepla vlákno uvolňuje. Nefixované vlákno vydalo 17,14 cal/g, kým vlákno fixované na 180 °C 12,5 cal/g. /tab.č.22/.

Pri užívaní vzniká u syntetických materiálov elektrostatický náboj, ktorý zapríčinuje svojimi príťažlivými účinkami znečistenie výrobku. Elektrostatický náboj môže dosiahnuť hodnoty až 18 000 V/cm. Použitím antistatickej preparácie klesne náboj na 500 V/cm. Podobný účinok má zvýšená vlhkosť vzduchu.

Záverom možno povedať, že jednotlivé dobré vlastnosti PES h Slotera sa odrážajú aj v hotovom výrobku - v nitiach.

D. Záver

1. PES h Slotera bol podrobený fyzikálno-mechanickým, tepelným a elektrickým skúškam, ktoré poukázali na vhodnosť použitia pre šijacie nite, hľavne titrov Td 60/12, 60/24, 120/36 pre ich vysokú pevnosť.
2. Pôsobením tepla dochádza k stabilizovaniu vlastností vlákna. Vlákno sa zmrštuje a po ďalšom tepelnom namáhaní v podstate nemení svoje vlastnosti.
3. Z úrovne nameraných výsledkov možno usudzovať, že Slotera má značný sklon k tvorbe elektrostatického náboja pri textilnom spracovaní i praktickom používaní. Vzhľadom na tie vlastnosti by dobrá spracovateľnosť nebola možná bez antistatického účinnej preparácie. Preparácia, ktorú vlákno obsahuje, má podľa zistených výsledkov dostatočnú účinnosť pre zabezpečenie vhodných spracovateľských vlastností vlákna z hľadiska pôsobenia elektrostatického náboja.

E. Literatúra

1. Ludewig, H: Polyester fasern, Akademie - Verlag, Berlin 1965,
2. Hladík, V. a kolektív: Textilní vlákna, SNTL, Praha, 1970,
3. Pejgrt, O. Reichstädter, B. a kol.: Polyesterová vlákna, SNTL, Praha, 1973
4. Piller, B. a kol.: Syntetická vlákna, SNTL, Praha, 1967,
5. Lacko, Vl.: Výroba a vlastnosti polyesterových vláken, Alfa, Bratislava, 1968,
6. Michlík, I. Gažová, J. Blažej, A.: Textil, č. 5, 1972
7. Michlík, I., Blažej, A. Hladík, Vl.: Teplota rozpúšťania a fixácie rôzne fixovaných PAD a PES vláken, správa.
8. M.Jambrich, I.Mitterpach, I.Diačik: Faserforschung und Textiltechnik 23, 3, 1972
9. Žilka, L.: Poznatky z hodnotenia antistatického účinku textilných úprav pomocou Elektrizačného prístroja, Zborník prednášok zo seminára adní novej techniky, Trenčín; 24 - - 26.X.1972.
10. Žilka, L. Eine kumulative Methode und ihre Anwendung bei der Auswertung der Elektrisierfähigkeit von Isoliermaterial und der Wirksamkeit antistatischer Präparation, 2. Internationale Tagung über elektrostatische Aufladung, Frankfurt, 3.-6.4.1973,
11. Z.Pirochová, A.Blažej: Textil, č. 5, 1973,
12. Z. Pirochová, A.Blažej: Textil, č. 6, 1973,
13. PES textilný hodváb, správa VUTEN, 1972

14. Prospektová literatúra,
15. "Slotera" prospekt n.p. Slovenský hodváb,
16. Vollaumatische Zugprüfmaschine TEXTIMAT 1505, ZWICK.